



МОСКОВСКИЙ ГОСУДАРСТВЕННЫЙ УНИВЕРСИТЕТ ИМЕНИ
М. В. ЛОМОНОСОВА

Факультет вычислительной математики и кибернетики
Кафедра системного анализа

ОТЧЁТ ПО ПРАКТИКУМУ
«Стохастический анализ и моделирование»

Выполнила:
студентка 415 группы
Сафонова Елизавета

Преподаватель:
к.ф.-м.н.,
доцент кафедры СА
С. Н. Смирнов

Руководитель практикума:
В. А. Сливинский

Москва
2022

Содержание

1	Задание 1	3
1.1	Постановка задачи	3
1.2	Теоретические выкладки	3
1.3	Результаты работы программы	5
1.3.1	Генератор распределения Бернулли	5
1.3.2	Генератор биномиального распределения	5
1.3.3	Генератор геометрического распределения	6
1.3.4	Свойство отсутствия памяти у геометрического распределения	6
1.3.5	Пример траектории процесса при игре в орлянку	7
2	Задание 2	7
2.1	Постановка задачи	7
2.2	Теоретические выкладки	7
2.3	Результаты работы программы	10
2.3.1	Генератор сингулярного распределения	10
2.3.2	Проверка гипотез	10
2.3.3	Оценка моментов	10
3	Задание 3	11
3.1	Постановка задачи	11
3.2	Теоретические выкладки	11
3.3	Результаты работы программы	14
3.3.1	Датчик экспоненциального распределения	14
3.3.2	Свойство отсутствия памяти у экспоненциального распределения	15
3.3.3	Датчик пуассоновского распределения	15
3.3.4	Датчик пуассоновского распределения как предел биномиального распределения	16
3.3.5	Датчик стандартного нормального распределения	16
4	Задание 4	17
4.1	Постановка задачи	17
4.2	Теоретические выкладки	17
4.3	Результаты работы программы	20
4.3.1	Датчик распределения Коши	20
4.3.2	Датчик стандартного нормального распределения по методу фон Неймана с помощью распределения Коши	20
4.3.3	График стандартного нормального распределения	21
4.3.4	Влияние параметра сдвига	21
4.3.5	Влияние параметра масштаба	22
4.3.6	Сравнение скорости сходимости	22
5	Задание 5	23
5.1	Постановка задачи	23
5.2	Теоретические выкладки	23
5.3	Результаты работы программы	25
5.3.1	Пример, иллюстрирующий справедливость ЗБЧ	25
5.3.2	Пример, иллюстрирующий справедливость ЦПТ	25

5.3.3	Построение доверительных интервалов	26
5.3.4	Иллюстрация невыполнимости ЗБЧ для распределения Коши	26
5.3.5	Свойство устойчивости распределения Коши	26
6	Задание 6	27
6.1	Постановка задачи	27
6.2	Теоретические выкладки	27
6.3	Результаты работы программы	29
6.3.1	Метод-Монте Карло	29
6.3.2	Метод квадратур	29
7	Задание 7	29
7.1	Постановка задачи	29
7.2	Теоретические выкладки	29
7.3	Результаты работы программы	32
7.3.1	Метод случайного поиска	32
7.3.2	Метод оджига	32
8	Задание 8	33
8.1	Постановка задачи	33
8.2	Теоретические выкладки	33
8.3	Результаты работы программы	35
8.3.1	Аналитическое решение	35
8.3.2	Пример работы метода Монте-Карло	35
8.3.3	Разбиение точек на внутренние и граничные	36
9	Задание 9	36
9.1	Постановка задачи	36
9.2	Теоретические выкладки	37
9.3	Результаты работы программы	42
9.3.1	Винеровский процесс	42
9.3.2	Процесс Орнштейна-Уленбека	43
10	Задание 10	44
10.1	Постановка задачи	44
10.2	Теоретические выкладки	44
10.3	Результаты работы программы	45
10.3.1	Процесс Орнштейна-Уленбека	45
11	Задание 11	47
11.1	Постановка задачи	47
11.2	Теоретические выкладки	48
11.3	Результаты работы программы	50
11.3.1	СМО	50
11.3.2	СМО с циклической интенсивностью	51
11.3.3	Работа страховой компании	52

1 Задание 1

1.1 Постановка задачи

1. Реализовать генератор схемы Бернулли с заданной вероятностью успеха p . Построить на его основе датчик биномиального распределения.
2. Реализовать генератор геометрического распределения. Проверить для него свойство отсутствия памяти.
3. Рассмотреть игру в орлянку — бесконечную последовательность независимых испытаний с бросанием правильной монеты. Выигрыш S_n определяется как сумма по n испытаниям значений 1 и -1 в зависимости от выпавшей стороны. Проиллюстрировать (в виде ломаной) поведение $Y(i) = \frac{S_i}{\sqrt{n}}$, как функцию номера испытания $i = 1, \dots, n$ для отдельно взятой траектории. Дать теоретическую оценку $Y(n)$ при $n \rightarrow \infty$.

1.2 Теоретические выкладки

Определение 1. Схема Бернулли — модель, состоящая из последовательности n случайных величин $\xi_1, \xi_2, \dots, \xi_n$, принимающих значения 0 и 1 и таких, что: случайные величины ξ_i независимы и одинаково распределены (на метаязыке: отсутствие взаимного влияния и воспроизводимость, соответственно).

$$\xi_i = \begin{cases} 1, & \text{в } i\text{-ом испытании успех} \\ 0, & \text{иначе} \end{cases}$$

Определение 2. Будем говорить, что случайная величина ξ имеет распределение Бернулли, если она принимает два значения 1 и 0 с вероятностями «успеха» p и «неуспеха» $q = 1 - p$. Обозначение: $\xi \sim \text{Ber}(p)$.

Для генерации случайной величины, имеющей распределение Бернулли с вероятностью успеха p , будем использовать следующий алгоритм:

- Моделируем равномерно распределенную на $[0, 1]$ случайную величину $\eta \sim \mathcal{U}(0, 1)$.
- Если $\eta \leq p$, то датчик возвращает $\xi = 1$, В противном случае $\xi = 0$.

Определение 3. Биномиальное распределение — распределение числа появления события, имеющего вероятность p в n независимых испытаниях (т.е. распределение количества успехов в схеме Бернулли).

Определение 4. Будем говорить, что $\eta \sim \text{Bin}(n, p)$, если

$$\mathbb{P}(\eta = k) = C_n^k p^k (1 - p)^{n-k}, \text{ где } k \in \mathbb{N}_0$$

Для построения датчика $\eta \sim \text{Bin}(n, p)$, проведем серию из n испытаний Бернулли с заданной вероятностью p , после чего посчитаем общее число «успехов»:

$$\eta = \sum_{i=1}^n \xi_i, \quad \xi_i \sim \text{Ber}(p)$$

Определение 5. Геометрическое распределение — распределение, при котором проводится серия испытаний Бернулли с вероятностями успеха p и неуспеха $q = 1 - p$ до тех пор, пока не произойдет событие (пока не будет получен первый успех).

Определение 6. Будем говорить, что $\xi \sim \text{Geom}(p)$, если

$$\mathbb{P}(\xi = k) = (1 - p)^k p = q^k p, \text{ где } k \in \mathbb{N}_0$$

Свойство 1. (отсутствия памяти (отсутствия последействия)):

$$\mathbb{P}(X \geq t + s | X \geq s) = \mathbb{P}(X \geq t) > 0, \forall t, s \in \{0, 1, 2, \dots\}.$$

Доказательство.

$$\begin{aligned} \mathbb{P}(X \geq s) &= \mathbb{P}(X = s) + \mathbb{P}(X = s + 1) + \dots = \sum_{k=s}^{\infty} p(1 - p)^k = \\ &= p(1 - p)^s (1 + (1 - p) + (1 - p)^2 + \dots) = p(1 - p)^s \sum_{m=0}^{\infty} (1 - p)^m = (1 - p)^s \end{aligned}$$

$$\begin{aligned} \mathbb{P}(X \geq t + s | X \geq s) &= \frac{\mathbb{P}(X \geq t + s, X \geq s)}{\mathbb{P}(X \geq s)} = \frac{\mathbb{P}(X \geq t + s)}{\mathbb{P}(X \geq s)} = \\ &= \frac{(1 - p)^{t+s}}{(1 - p)^s} = (1 - p)^t = \mathbb{P}(X \geq t) \end{aligned}$$

■

Рассмотрим игру в орлянку — бесконечную последовательность независимых испытаний с бросанием правильной монеты.

Пусть ξ_1, ξ_2, \dots — последовательность независимых одинаково распределенных случайных величин, каждая из которых принимает значение 1, если выпал орел (успех), и -1 , если выпала решка (неуспех).

$$\mathbb{P}(\xi_i = 1) = \mathbb{P}(\xi_i = -1) = \frac{1}{2}$$

$$S_n = \sum_{i=1}^n \xi_i$$

$$\mathbb{E}\xi_i = -1 \cdot \mathbb{P}(\xi_i = -1) + 1 \cdot \mathbb{P}(\xi_i = 1) = -\frac{1}{2} + \frac{1}{2} = 0$$

$$\text{Var}\xi_i = \mathbb{E}\xi_i^2 - (\mathbb{E}\xi_i)^2 = 1 \cdot \mathbb{P}(\xi_i^2 = 1) = 1$$

По классической ЦПТ:

$$\frac{S_n - \mathbb{E}(\xi_i)n}{\sigma(\xi_i)\sqrt{n}} = \frac{S_n - \mathbb{E}(\xi_i)n}{\sqrt{\text{Var}\xi_i}\sqrt{n}} = \frac{S_n}{\sqrt{n}} = Y(n) \xrightarrow[n \rightarrow \infty]{d} \nu \sim \mathcal{N}(0, 1)$$

1.3 Результаты работы программы

1.3.1 Генератор распределения Бернулли

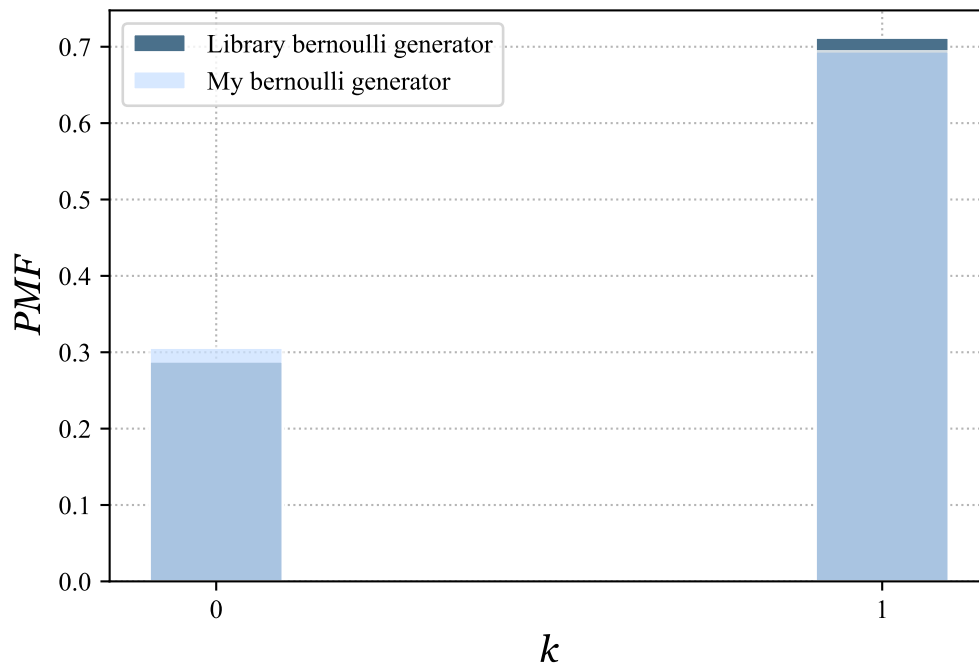


Рис. 1: Гистограмма распределения Бернулли $p = 0.7$

1.3.2 Генератор биномиального распределения

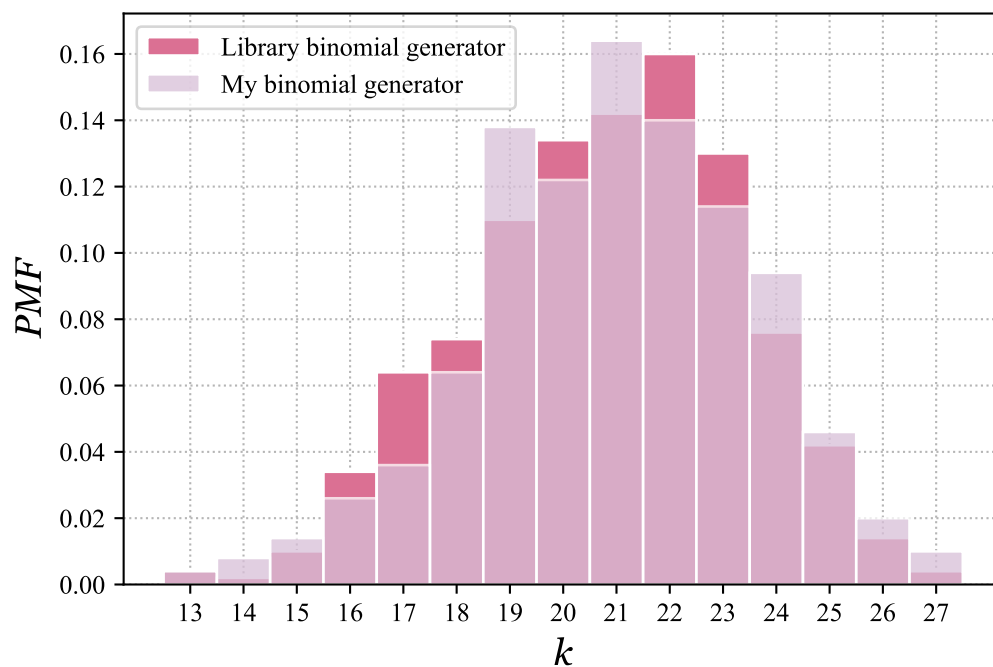


Рис. 2: Гистограмма биномиального распределения $p = 0.7$, $n = 30$

1.3.3 Генератор геометрического распределения

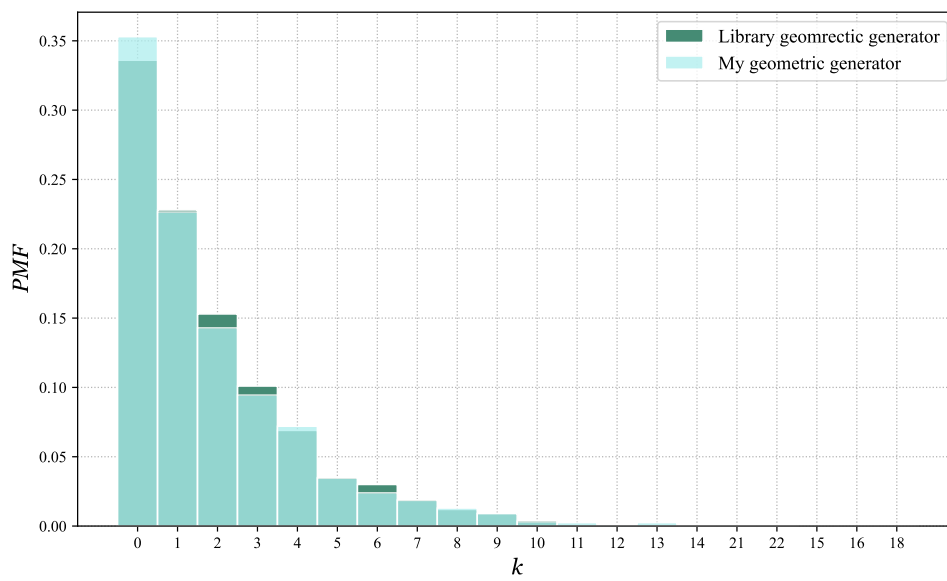


Рис. 3: Гистограмма геометрического распределения $p = 0.35$

1.3.4 Свойство отсутствия памяти у геометрического распределения

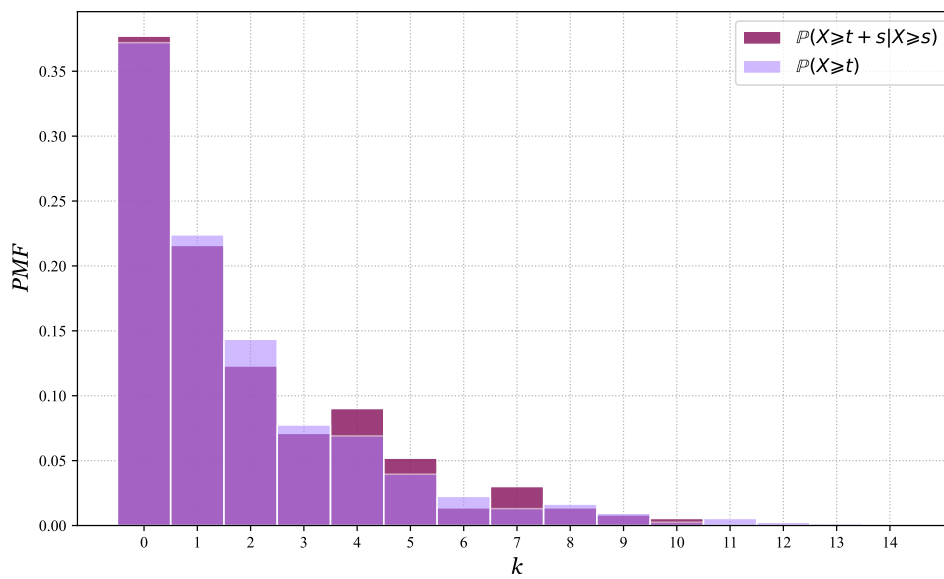


Рис. 4: Гистограмма геометрического распределения $p = 0.35$, $t = 4$

1.3.5 Пример траектории процесса при игре в орлянку

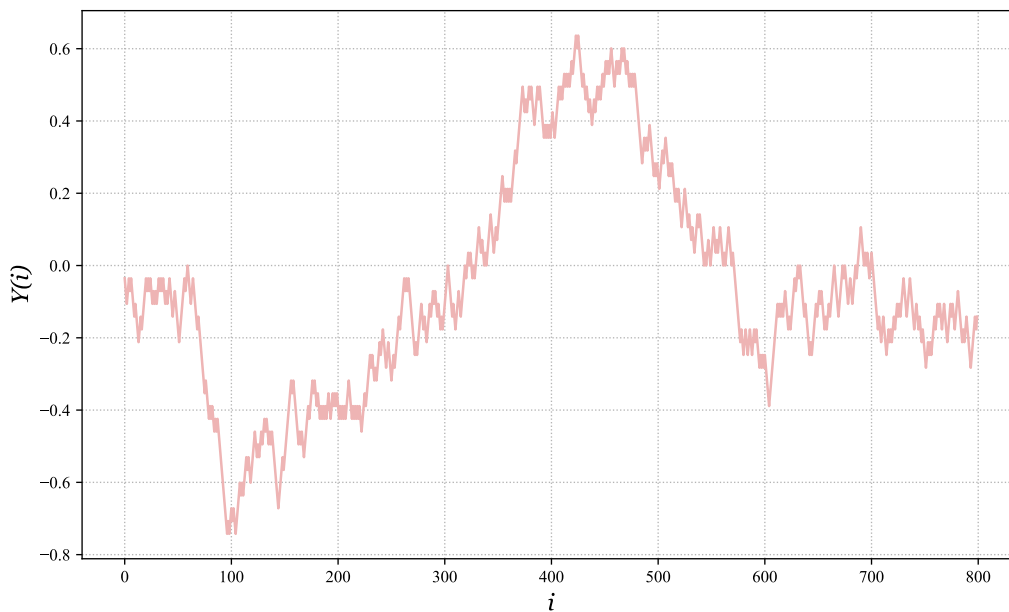


Рис. 5: Траектория $Y(i)$, при $p = 0.5$, $n = 800$

2 Задание 2

2.1 Постановка задачи

1. Построить датчик сингулярного распределения, имеющий в качестве функции распределения канторову лестницу. С помощью критерия Колмогорова убедиться в корректности работы датчика.
2. Для канторовых случайных величин проверить свойство симметричности относительно $\frac{1}{2}$ (X и $1 - X$ распределены одинаково) и самоподобия относительно деления на 3 (условное распределение Y при условии $Y \in [0, \frac{Y}{3}]$ совпадает с распределением $\frac{1}{3}$ с помощью критерия Смирнова).
3. Вычислить значение матожидания и дисперсии для данного распределения. Сравнить теоретические и эмпирические значения, проиллюстрировать сходимость.

2.2 Теоретические выкладки

Определение 7. Распределение называется сингулярным, если оно сосредоточено на континуальном множестве с нулевой мерой Лебега.

При построении Канторова множества \mathcal{C} (мера Лебега которого равна нулю) на отрезке $[0, 1]$ мы «выбрасываем» интервалы $(\frac{1}{3}, \frac{2}{3})$, $(\frac{1}{9}, \frac{2}{9})$, $(\frac{7}{9}, \frac{8}{9})$, То есть получается, что в троичной записи десятичной дроби будут отсутствовать единицы (Например, выбрасывая интервал $(\frac{1}{3}, \frac{2}{3})$, мы, тем самым, говорим, что на первой позиции числа после запятой 0, ? ... не может стоять единица).

Каждой точке $x = \frac{a_1}{3} + \frac{a_2}{3^2} + \frac{a_3}{3^3} + \dots$, $x \in \mathcal{C}$ можно отнести последовательность a_1, a_2, \dots, a_n , где $a_i \in \{0, 2\}$, которой, в свою очередь, соответствует последовательность

вида b_1, b_2, \dots, b_n , где $b_i \in \{0, 1\}$, генерируемая датчиком Бернулли с вероятностью $p = \frac{1}{2}$.

Пусть функция $K(x)$ — канторова лестница. В точках 0 и 1 ее значение принимается равным соответственно 0 и 1. Далее интервал $(0, 1)$ разбивается на три равные части $(0, \frac{1}{3})$, $(\frac{1}{3}, \frac{2}{3})$ и $(\frac{2}{3}, 1)$. На среднем сегменте полагаем $K(x) = \frac{1}{2}$. Оставшиеся два интервала снова разбиваются на три равные части каждый, и на средних из них $K(x)$ полагается равной $\frac{1}{4}$ и $\frac{3}{4}$. Каждый из оставшихся сегментов снова делится на три части, и на внутренних интервалах $K(x)$ определяется как постоянная, равная среднему арифметическому между соседними, уже определенными значениями $K(x)$. На остальных точках единичного отрезка определяется по непрерывности.

$$x = \sum_{i=1}^n \frac{2b_i}{3^i}, \quad K(x) = \sum_{i=1}^n \frac{b_i}{2^i}$$

Будем рассматривать частичные суммы. Для этого введем погрешность ε и найдем такое число n , при котором частичная сумма будет отличаться от бесконечной не более, чем на заданную погрешность.

$$\sum_{i=n+1}^{\infty} \frac{2b_i}{3^i} \leq 2 \sum_{i=n+1}^{\infty} \frac{1}{3^i} = \frac{1}{3^n} \leq \varepsilon$$

$$-\log_3 \varepsilon \leq n$$

Критерий Колмогорова. Пусть эмпирическая функция распределения $F_n(x)$, построенная по выборке $X = (X_1, \dots, X_n)$, имеет вид:

$$F_n(x) = \frac{1}{n} \sum_{i=1}^n \mathbb{I}_{X_i \leq x},$$

где $\mathbb{I}_{X_i \leq x}$ — индикатор, указывающий попало ли наблюдение X_i в область $(-\infty, x]$.

Статистика критерия для эмпирической функции:

$$D_n = \sup_{x \in \mathbb{R}} |F_n(x) - F(x)|,$$

Способ проверки гипотезы — сравнение статистики $\sqrt{n}D_n$ с критическим значением K_α , то есть с верхним квантилем распределения, рассчитываемым как $K_\alpha = F_K^{-1}(1 - \alpha)$.

Этот подход требует обращения функции распределения, что аналитически невозможно. Поэтому иногда пользуются аппроксимацией функции распределения Колмогорова $F_K(x) \approx 1 - 2e^{-2x^2}$, которая легко обратима.

Гипотеза о соответствии выборки принимается с заданным уровнем значимости α при $\sqrt{n}D_n < K_\alpha$ и отвергается иначе.

$$F_K^{-1}(x) = \sqrt{-\frac{1}{2} \ln \frac{1-x}{2}}$$

$$K_\alpha = F_K^{-1}(1 - \alpha) = \sqrt{-\frac{1}{2} \ln \frac{\alpha}{2}}$$

Критерий однородности Смирнова используется для проверки гипотезы о принадлежности двух независимых выборок одному закону распределения, то есть говорит о том, что два эмпирических распределения соответствуют одному и тому же закону.

Критерий Смирнова. Обозначим за H_0 гипотезу о том, что две исследуемые выборки объемами n и m с эмпирическими функциями распределения $F_n(x)$ и $F_m(x)$ распределены по одному закону. Введем статистику критерия:

$$D_{n,m} = \sup_x |F_n(x) - F_m(x)|$$

Тогда если гипотеза H_0 верна, то при увеличении объемов выборок n и m случайная величина $\sqrt{\frac{nm}{n+m}} D_{n,m}$ будет сходиться по распределению к случайной величине K с функцией распределения Колмогорова:

$$F_K(x) = 1 + 2 \sum_{i=1}^{\infty} (-1)^i e^{-2i^2 x^2}$$

Для проверки свойства **симметричности** канторовых случайных величин рассмотрим $\xi_1 \sim \mathcal{Cantor}(n)$ и $1 - \xi_2$, где $\xi_2 \sim \mathcal{Cantor}(m)$. Из симметрии канторовой лестницы следует, что $F_\xi(x) + F_\xi(1 - x) = 1$. Тогда имеем:

$$\begin{aligned} F_{\xi_2} &= F_{1-\xi_1}(x) = P(1 - \xi_1 < x) = P(1 - x < \xi_1) = \\ &= 1 - P(\xi_1 < 1 - x) = 1 - F_{\xi_1}(1 - x) = F_{\xi_1}(x) \end{aligned}$$

Для проверки свойства **самоподобия** канторовых случайных величин относительно деления на 3 рассмотрим $\xi_1 \sim \mathcal{Cantor}(n)$, $\xi_1 \in [0, \frac{1}{3}]$ и $\xi_2 = \frac{\xi_1}{3}$. Рассмотрим множество $C_1 = [0, \frac{1}{3}] \cup [\frac{2}{3}, 1]$. Имеем для ξ_1 :

$$\begin{aligned} F\left(x \mid \xi_1 \in \left[0, \frac{1}{3}\right]\right) &= P\left(\xi_1 < x \mid \xi_1 \in \left[0, \frac{1}{3}\right]\right) = \frac{P\left(\xi_1 < x, \xi_1 \in \left[0, \frac{1}{3}\right]\right)}{P\left(\xi_1 \in \left[0, \frac{1}{3}\right]\right)} = \\ &= \left\{P\left(\xi_1 \in \left[0, \frac{1}{3}\right]\right) = \frac{1}{2}\right\} = 2P\left(\xi_1 < x, \xi_1 \in \left[0, \frac{1}{3}\right]\right) = 2F_{\xi_1}(x), \text{ при } x \in \left[0, \frac{1}{3}\right] \end{aligned}$$

Для $\xi_2 = \frac{\xi_1}{3}$ получим:

$$F_{\xi_2} = F_{\frac{\xi_1}{3}} = P\left(\frac{\xi_1}{3} < x\right) = P(\xi_1 < 3x) = F_{\xi_1}(3x)$$

Вычислим значения математического ожидания и дисперсии для случайной величины $\xi \sim \text{Ber}(p)$:

$$\begin{aligned} \mathbb{E}\xi &= \mathbb{P}(\xi = 1) \cdot 1 + \mathbb{P}(\xi = 0) \cdot 0 = p + (1 - p) \cdot 0 = p \\ \text{Var}\xi &= \mathbb{E}\xi^2 - (\mathbb{E}\xi)^2 = p - p^2 = p(1 - p) \end{aligned}$$

Математическое ожидание и дисперсия для $X_n \sim \mathcal{Cantor}(n)$:

$$\mathbb{E}X_n = \mathbb{E} \sum_{i=1}^{\infty} \frac{2b_i}{3^i} = \sum_{i=1}^{\infty} \frac{2}{3^i} \mathbb{E}b_i = \sum_{i=1}^{\infty} \frac{2}{3^i} \cdot \frac{1}{2} = \frac{\frac{1}{3}}{1 - \frac{1}{3}} = \frac{1}{2}$$

X_1, \dots, X_n независимы:

$$\text{Var}X_n = \text{Var} \sum_{i=1}^{\infty} \frac{2b_i}{3^i} = \sum_{i=1}^{\infty} \left(\frac{2}{3^i}\right)^2 \text{Var}b_i = \sum_{i=1}^{\infty} \frac{4}{9^i} \cdot \frac{1}{4} = \frac{\frac{1}{9}}{1 - \frac{1}{9}} = \frac{1}{8}$$

2.3 Результаты работы программы

2.3.1 Генератор сингулярного распределения

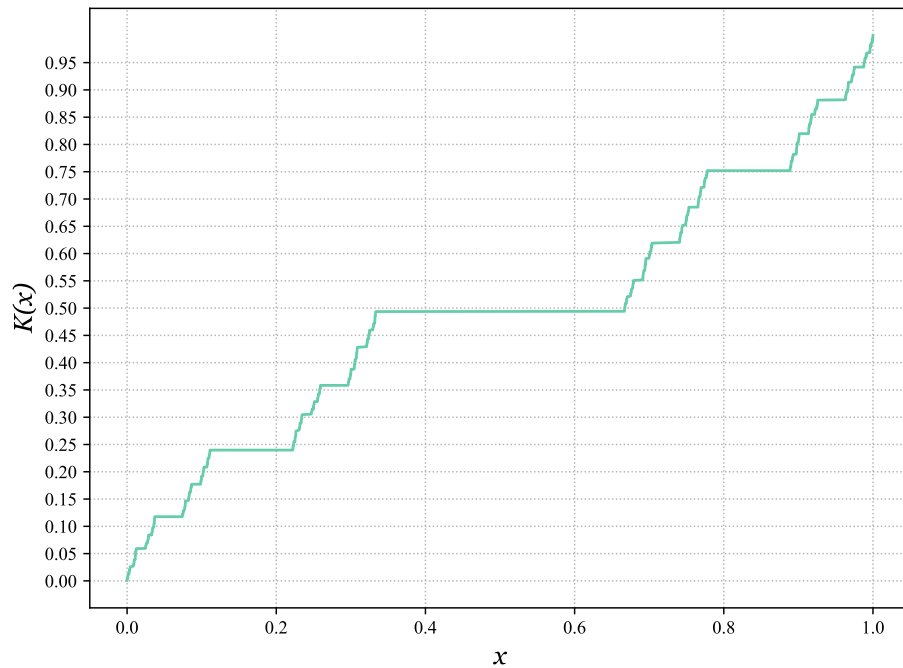


Рис. 6: Работа датчика сингулярного распределения, при $\varepsilon = 0.00001$, $n = 3000$

2.3.2 Проверка гипотез

Проверка построенного датчика с помощью критерия Колмогорова с уровнем значимости $\alpha = 0.003$ и размером выборки $n = 1000$ показала, что гипотеза принимается.

При проверке симметричности и самоподобия с помощью критерия Смирнова с теми же параметрами и $m = 1000$, гипотеза так же принимается.

2.3.3 Оценка моментов

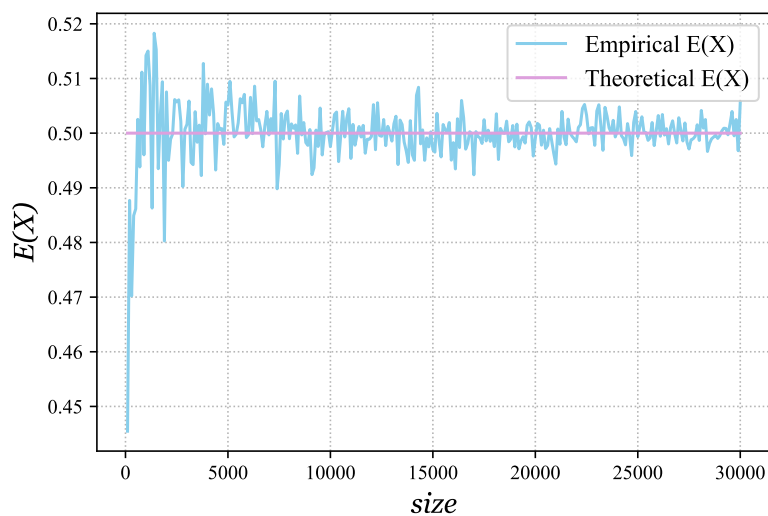


Рис. 7: Сходимость математического ожидания

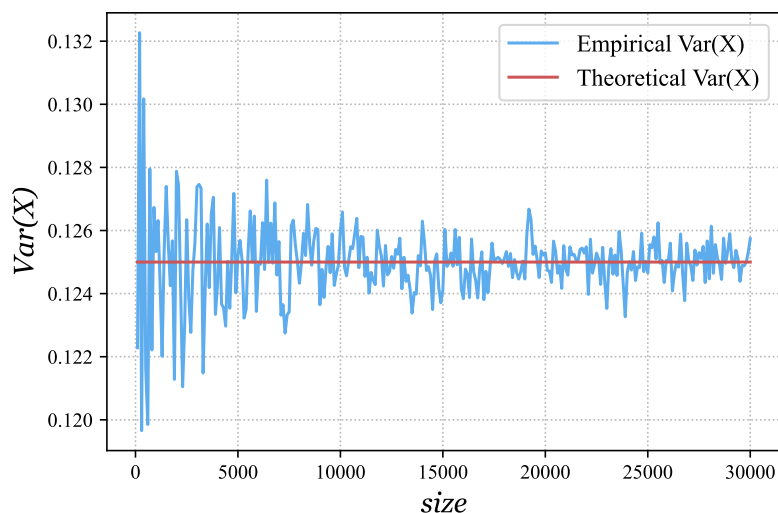


Рис. 8: Сходимость дисперсии

3 Задание 3

3.1 Постановка задачи

1. Построить датчик экспоненциального распределения. Проверить для данного распределения свойство отсутствия памяти. Пусть X_1, X_2, \dots, X_n — независимо экспоненциально распределенные с.в. с параметрами $\lambda_1, \lambda_2, \dots, \lambda_n$ соответственно. Найти распределение случайной величины $Y = \min(X_1, X_2, \dots, X_n)$.
2. На основе датчика экспоненциального распределения построить датчик пуассоновского распределения.
3. Построить датчик пуассоновского распределения как предел биномиального распределения. С помощью критерия хи-квадрат Пирсона убедиться, что получен датчик распределения Пуассона.
4. Построить датчик стандартного нормального распределения методом моделирования случайных величин парами с переходом в полярные координаты. Проверить при помощи критерия t -критерия Стьюдента равенство математических ожиданий, а при помощи критерия Фишера равенство дисперсий.

3.2 Теоретические выкладки

Рассмотрим экспоненциальное распределение:

$$F(x) = \begin{cases} 1 - e^{-\lambda x}, & x \geq 0, \\ 0, & x < 0. \end{cases}$$

Теорема 1. Пусть некоторая функция распределения F имеет обратную F^{-1} . Тогда F является функцией распределения случайной величины $\eta = F^{-1}(\xi)$, где $\xi \sim \mathcal{U}[0, 1]$

Обращаем функцию распределения: $\tilde{F}(y) = -\frac{1}{\lambda} \ln(1-y)$. Замечаем, что если $\xi \sim U[0, 1]$, то $\eta = 1 - \xi$ имеет такое же распределение, что и ξ . Поэтому можем положить $x = -\frac{1}{\lambda} \ln y$, где y — значение равномерно распределенной на $[0, 1]$ случайной величины.

Свойство 2. Случайная величина $X \sim \text{Exp}(\lambda)$ обладает свойством отсутствия памяти.

Доказательство.

$$\begin{aligned} \mathbb{P}(X \geq t + s | X \geq s) &= \mathbb{P}(X \geq t) \\ \mathbb{P}(X \geq t + s | X \geq s) &= \frac{\mathbb{P}(X \geq t + s, X \geq s)}{\mathbb{P}(X \geq s)} = \frac{\mathbb{P}(X \geq t + s)}{\mathbb{P}(X \geq s)} = \frac{e^{-\lambda(t+s)}}{e^{-\lambda s}} = e^{-\lambda t} = \mathbb{P}(X \geq t) \end{aligned}$$

■

Рассмотрим X_1, X_2, \dots, X_n — независимо экспоненциально распределенные с.в. с параметрами $\lambda_1, \lambda_2, \dots, \lambda_n$ соответственно. Найдем распределение случайной величины

$$Y = \min(X_1, X_2, \dots, X_n)$$

$$\begin{aligned} F_Y(x) &= P(Y < x) = P(\min(X_1, \dots, X_n) < x) = 1 - P(\min(X_1, \dots, X_n) \geq x) = \\ &= 1 - P(X_1 \geq x, \dots, X_n \geq x) = 1 - P(X_1 \geq x) \cdot \dots \cdot P(X_n \geq x) = \\ &= 1 - (1 - P(X_1 < x)) \cdot \dots \cdot (1 - P(X_n < x)) = 1 - e^{-(\lambda_1 + \dots + \lambda_n)x} \end{aligned}$$

Значит, случайная величина Y имеет экспоненциальное распределение с параметром $\lambda = \lambda_1 + \dots + \lambda_n$:

$$Y \sim \text{Exp}\left(\sum_{i=1}^n \lambda_i\right)$$

Определение 8. $\xi \sim \text{Pois}(\lambda)$, если $P(\xi = k) = \frac{\lambda^k}{k!} e^{-\lambda}$, $k \in \mathbb{N}_0$.

Теорема 2. Пусть X_1, \dots, X_n — независимые с.в. $\sim \text{Exp}(\lambda)$. Тогда можно построить с.в. $Y \sim \text{Pois}(\lambda)$: $Y = \max_n ((S_n = X_1 + \dots + X_n) < 1)$, причем при $X_1 \geq 1$: $Y = 0$.

Таким образом, для генерации Пуассоновской случайной величины с параметром λ будем разыгрывать экспоненциальные случайные величины $X_i \sim \text{Exp}(\lambda)$ до тех пор, пока их сумма S_n не превысит 1. А когда это произойдет, примем за значение $Y = n - 1$, $Y \sim \text{Pois}(\lambda)$.

Другой способ построения пуассоновской с.в. заключается в предельном свойстве биномиального распределения:

Биномиальное распределение сходится к распределению Пуассона при $n \rightarrow \infty$ в то время как произведение np остается фиксированным или, по крайней мере, p стремится к нулю. Поэтому распределение Пуассона с параметром $\lambda = np$ можно использовать как приближение к $\text{Bin}(n, p)$ биномиального распределения, если n достаточно велико, а p достаточно мало.

Пусть случайная величина $\xi \sim \text{Bin}(n, p)$:

$$\mathbb{P}_n(\xi = k) = C_n^k p^k (1-p)^{n-k}$$

Зафиксируем значение $\lambda = np$, которое является математическим ожиданием биномиального распределения, и будем устремлять параметр n к бесконечности:

$$\begin{aligned}\lim_{n \rightarrow \infty} \mathbb{P}_n(k) &= \lim_{n \rightarrow \infty} \left[C_n^k \cdot \left(\frac{\lambda}{n}\right)^k \cdot \left(1 - \frac{\lambda}{n}\right)^{n-k} \right] = \frac{\lambda^k}{k!} \cdot e^{-\lambda} \cdot \lim_{n \rightarrow \infty} \left[\frac{n!}{n^k(n-k)!} \left(1 - \frac{\lambda}{n}\right)^{-k} \right] = \\ &= \frac{\lambda^k}{k!} \cdot e^{-\lambda} \cdot \lim_{n \rightarrow \infty} \left[\frac{n(n-1) \dots (n-k+1)}{n^k} \left(1 - \frac{\lambda}{n}\right)^{-k} \right] = \frac{\lambda^k}{k!} e^{-\lambda}\end{aligned}$$

Проверим с помощью критерия χ^2 -Пирсона гипотезу о распределении по закону Пуассона.

Теорема 3 (Критерий согласия Пирсона). Обозначим нулевую гипотезу H_0 как гипотезу о том, что выборка $\xi_1, \xi_2 \dots \xi_n$ подчиняется закону распределения \mathbb{P} . Обозначим за n_k количество элементов в выборке, равных k , за r — количество различных элементов выборки, за p_k — вероятность выпадения значения в теоретическом распределении $p_k = \mathbb{P}(\xi = k)$. Введем статистику критерия

$$X_n^2 = n \sum_{k=1}^r \frac{\left(\frac{n_k}{n} - p_k\right)^2}{p_k}.$$

Тогда если гипотеза H_0 верна, то статистика X_n^2 имеет хи-квадрат распределение с $r - 1$ степенью свободы.

Определение 9. $\xi \sim \mathcal{N}(0, 1)$, если ее функция плотности вероятности задается формулой:

$$f_\xi(x) = \frac{1}{\sqrt{2\pi}} e^{-\frac{x^2}{2}}$$

Построим генератор стандартной нормальной случайной величины, воспользовавшись методом Бокса-Мюллера:

$$x = r \cos \theta, \quad y = r \sin \theta$$

Для получения r и θ нужно сгенерировать две равномерно распределенные на отрезке $(0, 1)$ случайные величины (назовем их u и v), распределение одной из которых (допустим v) необходимо преобразовать в экспоненциальное для получения радиуса. Функция экспоненциального распределения выглядит следующим образом:

$$f(v) = 1 - e^{-\lambda v}$$

Обратная к ней:

$$f(v) = -\frac{\ln(1-v)}{\lambda}$$

Так как равномерное распределение симметрично, то:

$$f(v) = -\frac{\ln v}{\lambda}$$

Из формулы распределения хи-квадрат следует, что $\lambda = 0.5$. Подставим в эту функцию λ, v и получим:

$$r^2 = -2 \ln v, \quad r = \sqrt{-2 \ln v}$$

$$\theta = 2\pi u$$

$$x = \sqrt{-2 \ln v} \cos 2\pi u, \quad \sqrt{-2 \ln v} \sin 2\pi u$$

При помощи критерия ***t*-критерия Стьюдента** проверим равенство математических ожиданий:

$$t = \frac{\bar{X} - \mu_0}{\frac{s}{\sqrt{n}}},$$

В нашем случае $\mu_0 = 0$. Несмещенная оценка дисперсии вычисляется следующим образом:

$$s^2 = \frac{\sum_{i=1}^n (X_i - \bar{X})^2}{n - 1}$$

Степень свободы равна $(n - 1)$.

Критерий Фишера применяется для проверки равенства дисперсий двух выборок объемом m и n соответственно случайных величин X и Y с нормальным распределением. Статистика Фишера вычисляется следующим образом:

$$F = \frac{\hat{\sigma}_X^2}{\hat{\sigma}_Y^2},$$

где $\hat{\sigma}_n^2$ — выборочная дисперсия, вычисляемая по формуле: $\hat{\sigma}_n^2 = \frac{\sum_{i=1}^n (x_i - \bar{x})^2}{n}$ Степени свободы определяются длиной выборок: $m - 1$ и $n - 1$.

3.3 Результаты работы программы

3.3.1 Датчик экспоненциального распределения

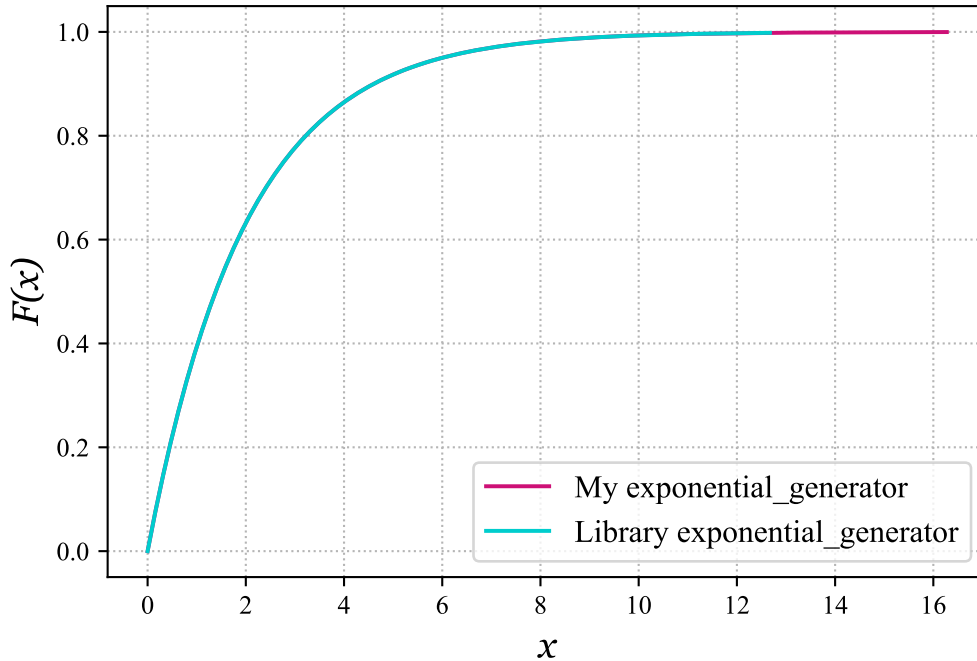


Рис. 9: Гистограмма экспоненциального распределения $\lambda = 0.5$

3.3.2 Свойство отсутствия памяти у экспоненциального распределения

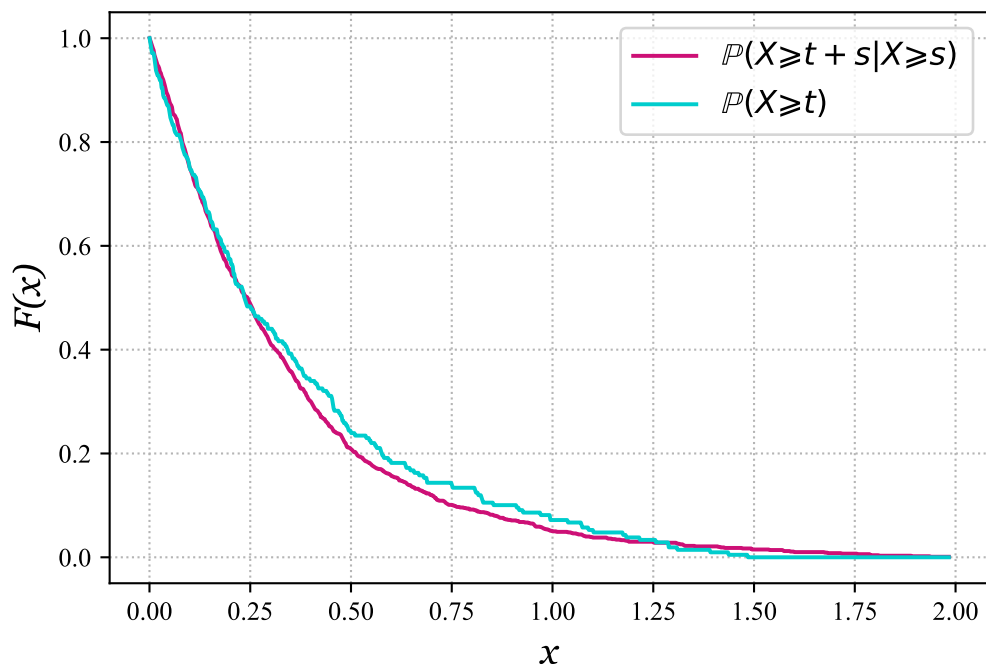


Рис. 10: График экспоненциального распределения $\lambda = 3$, $t = 0.5$

3.3.3 Датчик пуассоновского распределения

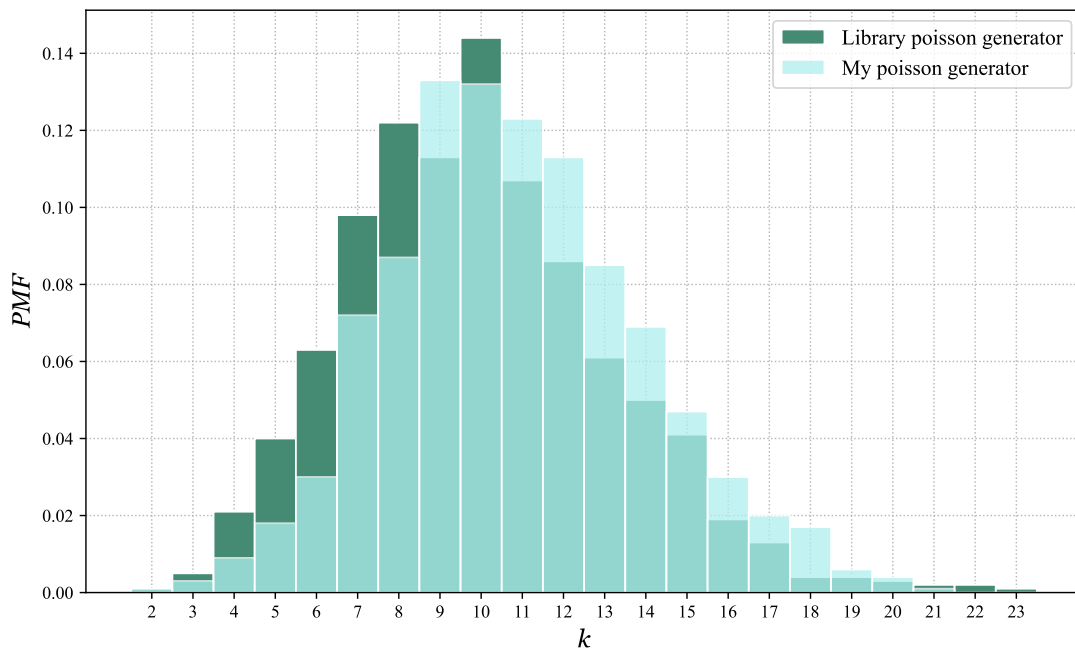


Рис. 11: Гистограмма пуассоновского распределения $\lambda = 10$

3.3.4 Датчик пуассоновского распределения как предел биномиального распределения

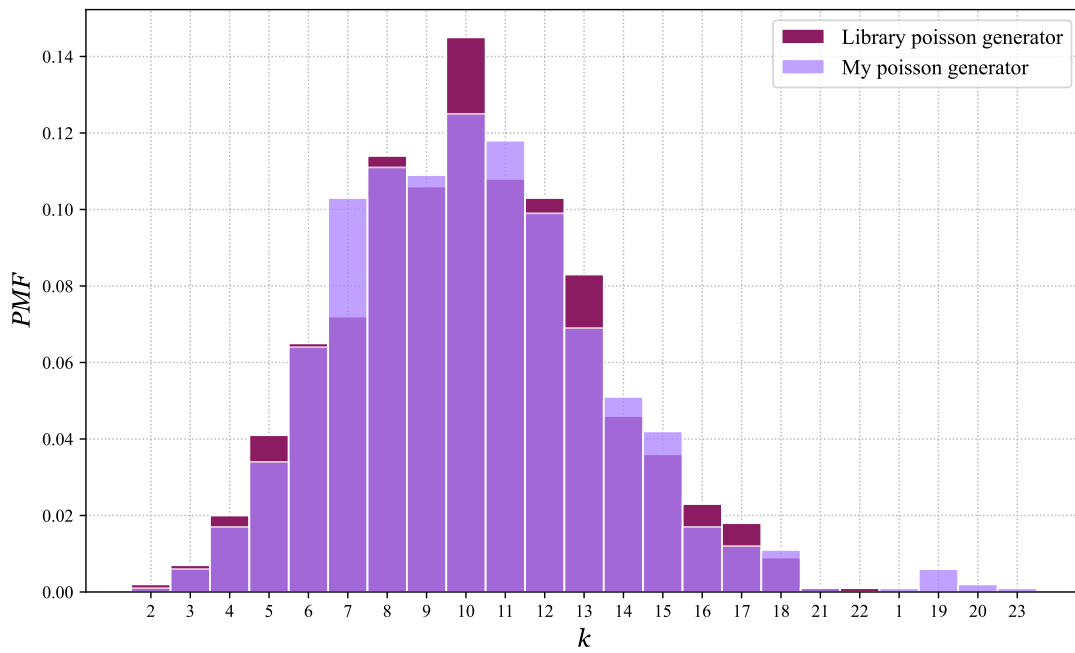


Рис. 12: Гистограмма пуассоновского распределения $\lambda = 10$

3.3.5 Датчик стандартного нормального распределения

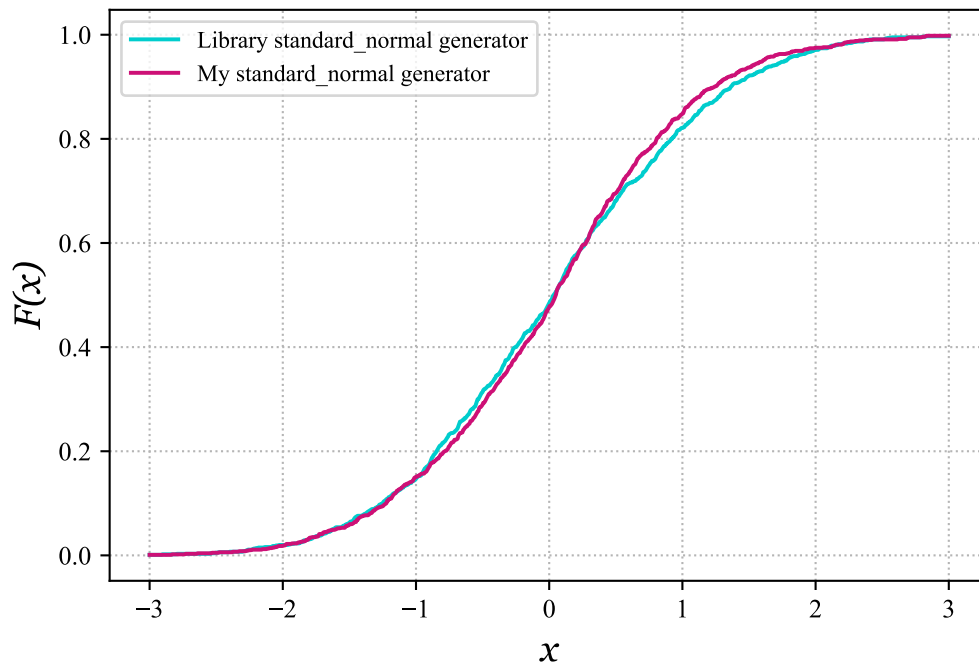


Рис. 13: График стандартного нормального распределения

4 Задание 4

4.1 Постановка задачи

1. Построить датчик распределения Коши.
2. На основе датчика распределения Коши с помощью метода фон Неймана построить датчик стандартного нормального распределения. При помощи функции `normal probability plot` убедиться в корректности построенного датчика и обосновать наблюдаемую линейную зависимость.
3. Сравнить скорость моделирования стандартного нормального распределения в заданиях 3 и 4.

4.2 Теоретические выкладки

Определение 10. Будем говорить, что случайная величина X имеет распределение Коши $X \sim Cauchy(a, b)$ с параметрами a и b , если ее плотность распределения задается следующей формулой:

$$f_X = \frac{1}{\pi} \frac{b}{(x - a)^2 + b^2},$$

где a — параметр сдвига, b — параметр масштаба.

Функция распределения Коши имеет вид:

$$F_X(x) = \frac{1}{\pi} \arctan\left(\frac{x - a}{b}\right) + \frac{1}{2}$$

Она строго возрастает и имеет обратную функцию:

$$F_X^{-1}(x) = a + b \cdot \tan\left(\pi\left(x - \frac{1}{2}\right)\right)$$

Для описания метода фон Неймана нам потребуется вспомнить некоторые определения и утверждения. Рассмотрим измеримое пространство (Ω, \mathcal{F}) .

Определение 11. Пусть μ и ν — счетно-аддитивные меры, заданные на общей σ -алгере \mathcal{F} подмножества из Ω . Тогда мера μ называется абсолютно-непрерывной относительно меры ν ($\mu \ll \nu$), если:

$$\nu(A) = 0 \implies \mu(A) = 0, \quad \forall A \in \mathcal{F}$$

Теорема 4 (Радона-Никодима). Пусть μ и ν — некоторые σ -конечные меры, определенные на σ -алгебре \mathcal{F} подмножеств из Ω . Тогда:

$$\mu \ll \nu \iff \exists \text{ функция } f : \mu(A) = \int_A f(\omega) \mu(d\omega) = \int_A f d\nu, \quad \forall A \in \mathcal{F}$$

Определение 12. Пусть $\mu \ll \nu$. Тогда $\mu(A) = \int_A f d\nu, \forall A \in \mathcal{F}$. Функция f называется производной Радона-Никодима от меры μ по мере ν : $f = \frac{d\mu}{d\nu}$.

Теперь перейдем к самому методу фон Неймана. У нас есть генератор распределения Коши с параметрами a и b . Нужно смоделировать стандартное нормальное распределение. Пусть также имеется некоторое пространство $(\mathcal{X}, \mathcal{A})$, на котором заданы вероятностные меры P и Q для стандартного нормального распределения и распределения Коши, соответственно, такие что:

$$P(A) < k \cdot Q(A), \quad \forall A \in \mathcal{A}, k \in \mathbb{R}.$$

В нашем случае оба распределения (Коши и стандартное нормальное) абсолютно-непрерывны, т.е. они абсолютно-непрерывны относительно меры Лебега, т.е. существует производная Радона-Никодима $\frac{dP}{dQ}$, а это значит, что должно выполняться неравенство $\frac{dP}{dQ} < k$, где dP и dQ — плотности распределения соответствующих распределений.

Известно, что чем меньше константа k , тем эффективнее будет работать метод фон Неймана (плотности будут приближаться друг к другу, а это, в свою очередь, значит, что вероятность попадания в нужную нам область будет выше). Поэтому нам нужно минимизировать это вещественное число, это можно сделать через следующую задачу минимакса:

$$k_{\min} = \min_{a,b} \max_{x \in \mathbb{R}} \left(\frac{f_n(x)}{f_c(x, a, b)} \right),$$

где f_c — плотность распределения Коши, f_n — плотность стандартного нормального распределения. Пусть для начала $a = 0$:

$$k_{\min}^0 = \min_b \max_{x \in \mathbb{R}} \left(\frac{f_n(x)}{f_c(x, b)} \right)$$

$$\frac{f_n(x)}{f_c(x, b)} = \frac{\sqrt{\pi}}{\sqrt{2}} e^{-\frac{x^2}{2}} \frac{x^2 + b^2}{b} = C e^{-\frac{x^2}{2}} (x^2 + b^2), \quad C = \frac{\sqrt{\pi}}{\sqrt{2}b} \neq 0$$

Максимум по x данного отношения достигается в точках:

$$x_{\max} = \begin{cases} \pm \sqrt{2 - b^2}, & \text{при } |b| \leq \sqrt{2}, \\ 0 & \text{при } |b| > \sqrt{2} \end{cases}$$

Тогда k_{\min}^0 будет выражаться следующим образом:

$$k_{\min}^0 = \min_b \left\{ \min_{|b| > \sqrt{2}} \left\{ \frac{b\sqrt{\pi}}{\sqrt{2}} \right\}, \min_{|b| \leq \sqrt{2}} \left\{ \frac{\sqrt{2\pi}}{b} e^{\frac{b^2}{2} - 1} \right\} \right\}$$

По аналогии рассматривается случай $a \neq 0$:

$$k_{\min} = \min_b \max_{x \in \mathbb{R}} \left\{ \frac{\sqrt{\pi}}{\sqrt{2}b} e^{-\frac{x^2}{2}} ((x - a)^2 + b^2) \right\} > \dots > k_{\min}^0$$

Т.е. $\forall x_0 \neq 0, k_{\min} > k_{\min}^0$. Таким образом, для минимизации константы k нужно взять нулевой параметр $a = 0$ для распределения Коши. Теперь вспомним про вычисленное значение x_{\max} . Подставим его в k_{\min}^0 :

$$k_{\min}^0 = \begin{cases} \sqrt{\frac{2\pi}{e}}, & \text{при } |b| \leq \sqrt{2} (b_{\min} = 1) \\ \sqrt{\pi}, & \text{при } |b| > \sqrt{2} (b_{\min} = \sqrt{2}) \end{cases}$$

Значит, нужная нам минимальная константа $k = \sqrt{\frac{2\pi}{e}}$ достигается при $b = 1, a = 0$

Тогда сформулируем алгоритм генерации стандартной нормальной случайной величины через распределение Коши с параметрами $a = 0, b = 1$ по методу фон Неймана:

1. Генерируем независимые пары случайных величин (X_i, ν_i) , где X_i имеет распределение Коши с параметрами $a = 0$, $b = 1$, а ν_i — распределение Бернулли с вероятностью успеха:

$$P(\nu_i, X_i = x) = \frac{\sqrt{\pi}}{\sqrt{2k}} e^{-\frac{x^2}{2}} (x^2 + 1) = \frac{(x^2 + 1)}{2} e^{-\frac{x^2+1}{2}}.$$

2. Исключаем (элиминируем) все пары, где $\nu_i \neq 1$. Последовательность из оставшихся X_i будет иметь стандартное нормальное распределение:

$$\begin{aligned} P(X \in A \mid \nu = 1) &= \frac{P(X \in A, \nu = 1)}{P(\nu = 1)} = \frac{\int_A P(\nu = 1, X = x) dQ(x)}{\int_{\Omega} P(\nu = 1, X = x) dQ(x)} = \\ &= \frac{\int_A \frac{1}{k} \frac{dP}{dQ}(x) dQ(x)}{\int_{\Omega} \frac{1}{k} \frac{dP}{dQ}(x) dQ(x)} = \frac{\int_A dP(x)}{\int_{\Omega} dP(x)} = P(A) \end{aligned}$$

Определение 13. Случайная величина Y имеет нормальное (гауссовское) распределение с параметрами μ и $\sigma > 0$ ($Y \sim \mathcal{N}(\mu, \sigma^2)$), если существует случайная величина $X \sim \mathcal{N}(0, 1)$ со стандартным нормальным распределением такая, что:

$$Y = \mu + \sigma X,$$

μ — параметр сдвига, а $\sigma > 0$ — параметр масштаба:

$$\begin{aligned} \mathbb{E}Y &= \mathbb{E}(\mu + \sigma X) = \mu + \sigma \mathbb{E}X = \mu \\ \text{Var}Y &= E(Y - EY)^2 = \mathbb{E}(\mu + \sigma X - \mu)^2 = \mathbb{E}(\sigma X)^2 = \sigma^2 \mathbb{E}X^2 = \sigma^2. \end{aligned}$$

Определение 14. Пусть дано параметрическое семейство вероятностных распределений, характеризованных их функцией распределения (или плотностью вероятности) $f(x; a)$, где $a \in \mathbb{R}$, $a > 0$ — фиксированный параметр. Тогда этот параметр называется коэффициентом масштаба, если имеет место представление:

$$f(x; a) = \frac{1}{a} f\left(\frac{x}{a}\right),$$

где $f(x)$ — фиксированная функция распределения или плотность вероятности.

Определение 15. Пусть дано параметрическое семейство вероятностных распределений, характеризованных их функцией распределения (или плотностью вероятности) $f(x; b)$, где $b \in \mathbb{R}$ — фиксированный параметр. Тогда этот параметр называется коэффициентом сдвига, если имеет место представление:

$$f(x; b) = f(x - b),$$

где $f(x)$ — фиксированная функция распределения или плотность вероятности.

Т.е. для нормального распределения выполнено следующее выражение:

$$\begin{aligned} F_Y(y) &= P(Y < y) = P\left(X < \frac{y - \mu}{\sigma}\right) = F_X\left(\frac{y - \mu}{\sigma}\right) = \\ &= \int_{-\infty}^{\frac{y - \mu}{\sigma}} \frac{1}{\sqrt{2\pi}} e^{-\frac{x^2}{2}} dx = \{t = \mu + \sigma x\} = \int_{-\infty}^y \frac{1}{\sqrt{2\pi}\sigma} e^{-\frac{(t - \mu)^2}{2\sigma^2}} dt. \end{aligned}$$

Другими словами, μ сдвигает график относительно графика стандартной нормальной величины, а $\frac{1}{\sigma}$ — угол наклона к оси абсцисс.

4.3 Результаты работы программы

4.3.1 Датчик распределения Коши

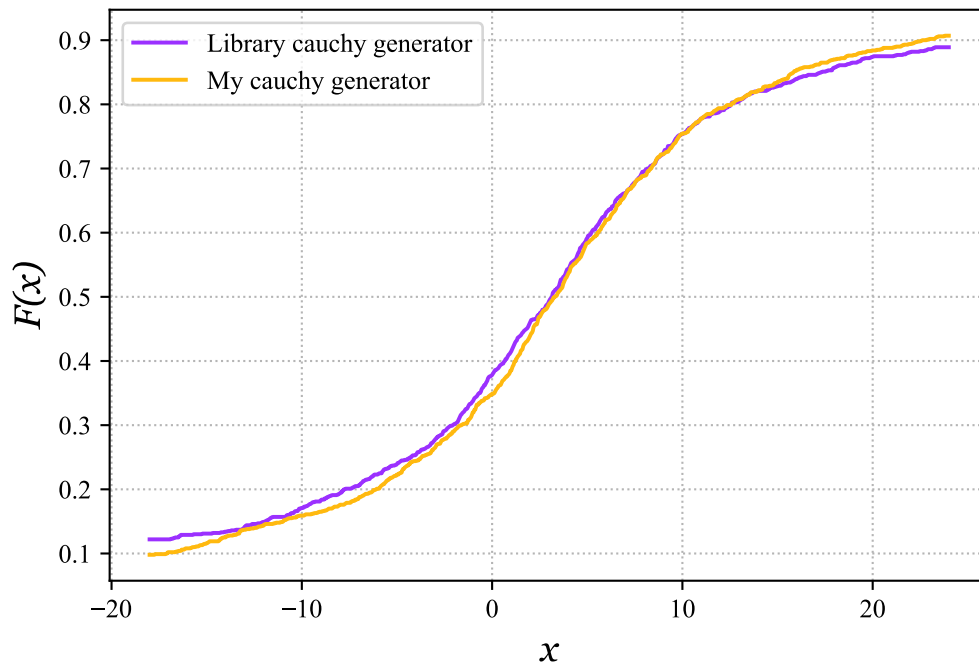


Рис. 14: График работы генератора Коши, $a = 3$, $b = 7$

4.3.2 Датчик стандартного нормального распределения по методу фон Неймана с помощью распределения Коши

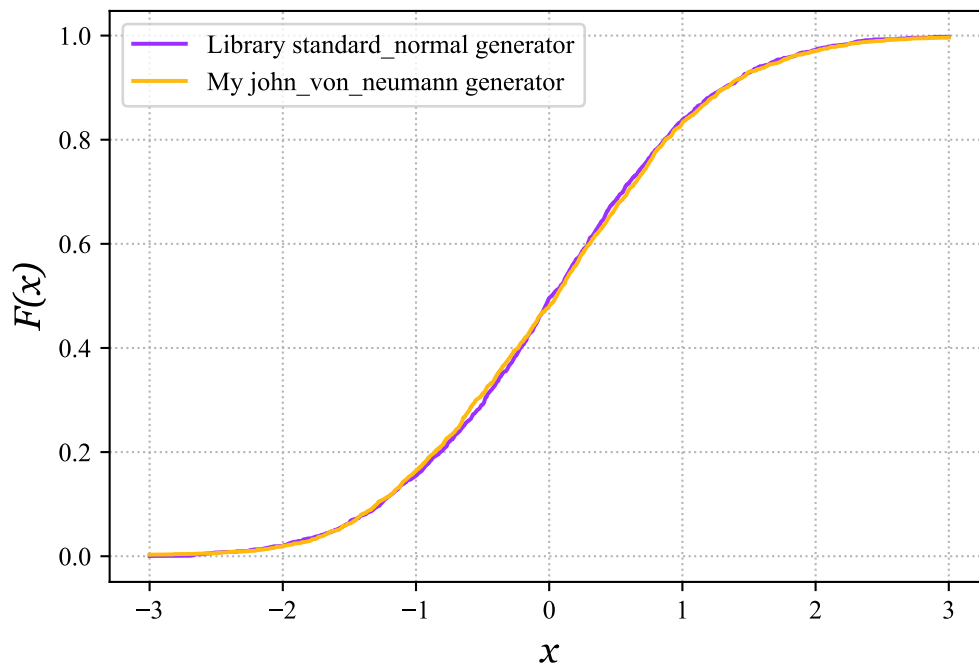


Рис. 15: График работы генератора

4.3.3 График стандартного нормального распределения

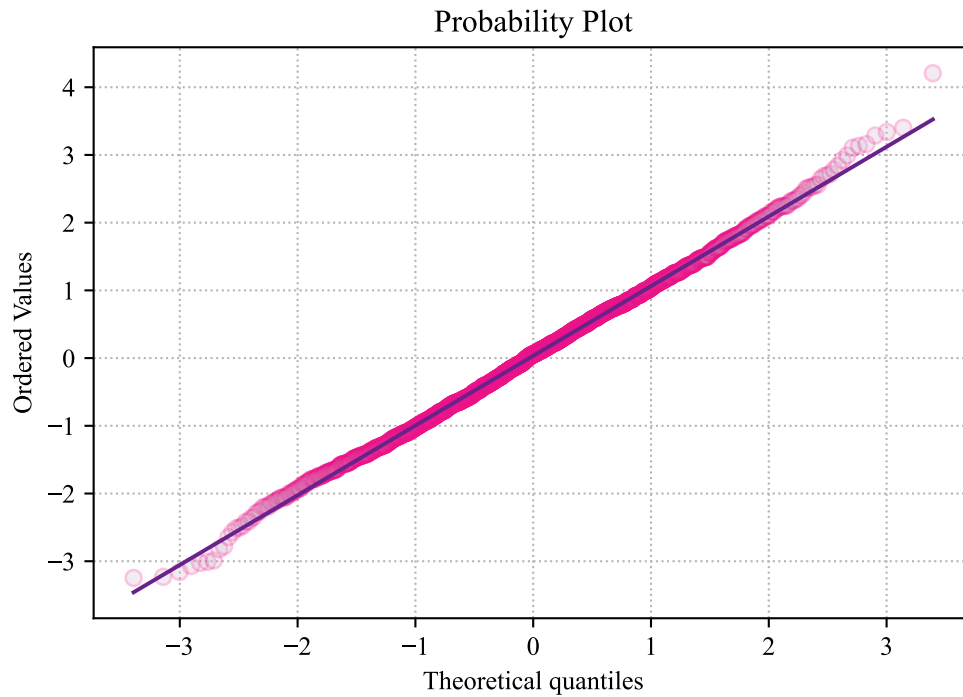


Рис. 16: Стандартное нормальное распределение, построенное по методу фон Неймана

4.3.4 Влияние параметра сдвига

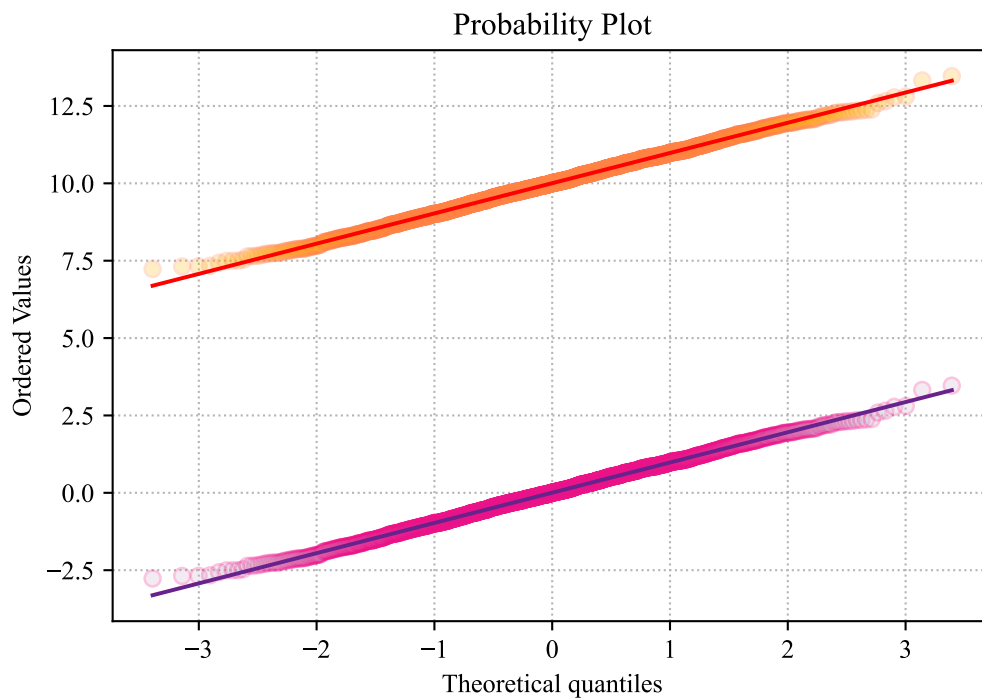


Рис. 17: $a = 10$, $b = 1$

4.3.5 Влияние параметра масштаба

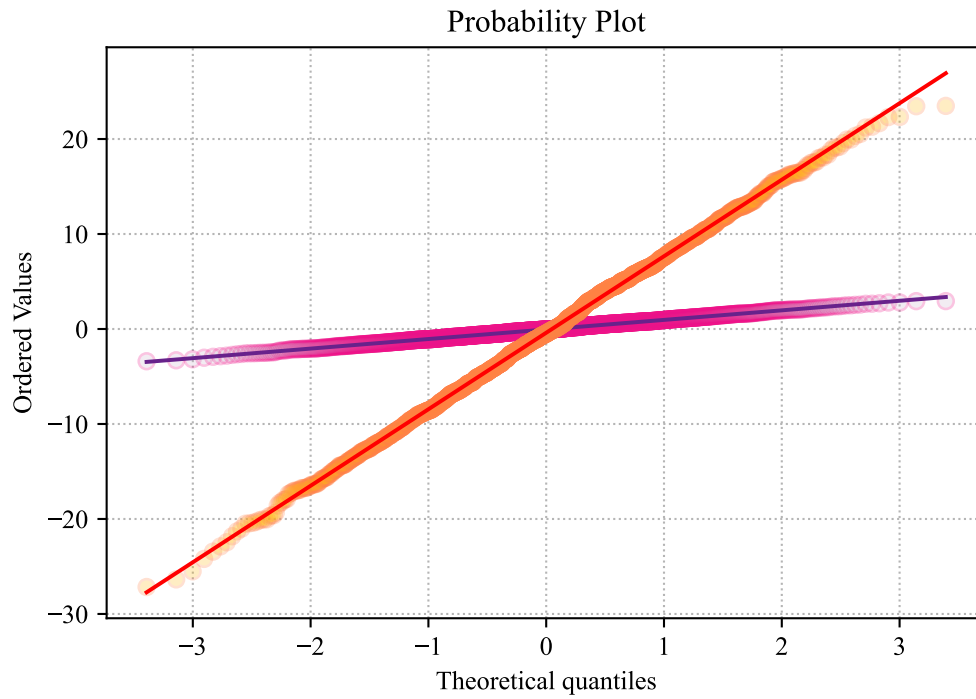


Рис. 18: $a = 0$, $b = 8$

4.3.6 Сравнение скорости сходимости

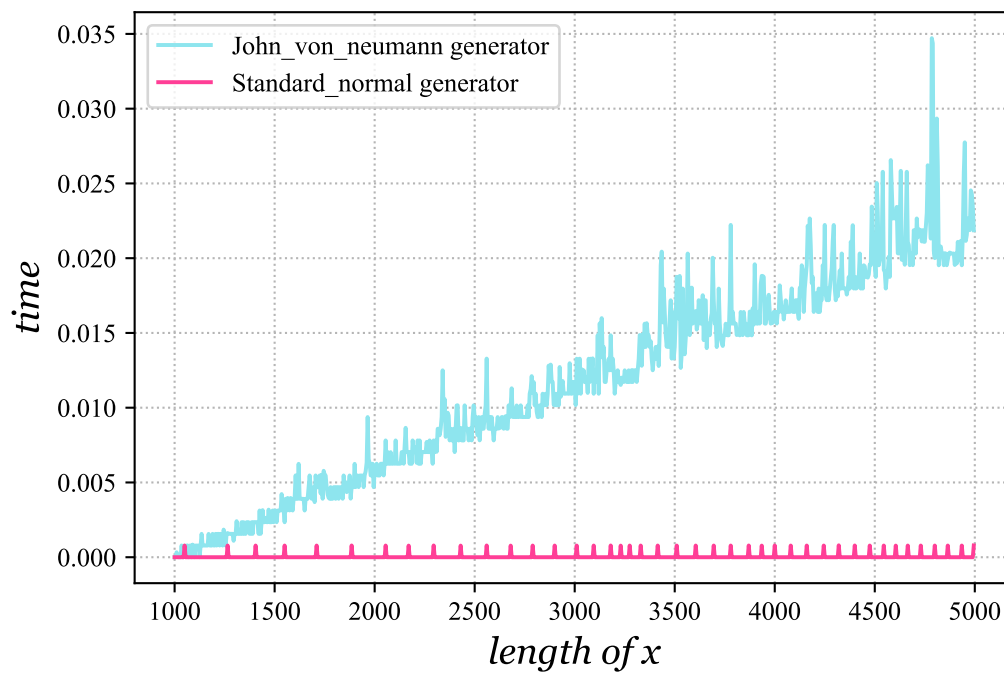


Рис. 19: Метод Бокса-Мюллера работает быстрее метода фон Неймана

5 Задание 5

5.1 Постановка задачи

1. Пусть $X_i \sim \mathcal{N}(\mu, \sigma^2)$. Убедиться эмпирически в справедливости ЗБЧ и ЦПТ, т.е. исследовать поведение суммы S_n и эмпирического распределения величины;

$$\sqrt{n} \left(\frac{S_n}{n} - a \right)$$

2. Считая μ и σ^2 неизвестными, для пункта 1 построить доверительные интервалы для среднего и дисперсии.
3. Пусть $X_i \sim \mathcal{K}(a, b)$ имеет распределение Коши со сдвигом a и масштабом b . Проверить эмпирически, как ведут себя суммы $\frac{S_n}{n}$. Результат объяснить, а также найти закон распределения данных сумм.

5.2 Теоретические выкладки

Закон больших чисел в форме Чебышёва:

Пусть X_1, X_2, \dots - последовательность независимых одинаково распределенных случайных величин с $\mathbb{E}X_k = a$ и $\text{Var}X_k < \infty$. Тогда, если обозначить $S_n = X_1 + \dots + X_n$, то выполнен ЗБЧ:

$$\frac{S_n - \mathbb{E}S_n}{n} \xrightarrow[n \rightarrow \infty]{\mathbb{P}} 0,$$

что равносильно:

$$\frac{S_n}{n} \xrightarrow[n \rightarrow \infty]{\mathbb{P}} a$$

Теорема 5 (ЦПТ). Пусть $\xi_1, \xi_2, \dots, \xi_n$ - последовательность случайных величин независимых в совокупности, одинаково распределенных так, что: $\mathbb{E}\xi_1^2 < \infty$, $\text{Var}\xi_1 \neq 0$. Обозначим $a = \mathbb{E}\xi_1$, $\sigma^2 = \text{Var}\xi_1$. Тогда справедливо выражение:

$$\frac{\xi_1 + \xi_2 + \dots + \xi_n - na}{\sigma\sqrt{n}} \xrightarrow[n \rightarrow \infty]{d} \eta \sim \mathcal{N}(0, 1).$$

Определение 16. Пусть задано малое число $0 < \alpha < 1$. Интервал со случайными концами $(\theta_1; \theta_2)$ называется доверительным интервалом для параметра θ с уровнем доверия α , если для любого $\theta \in \Theta$

$$\mathbb{P}(\theta_1 < \theta < \theta_2) \geq \alpha$$

Пусть $t_{\alpha, n-1}$ - α -квантили распределения **Стьюдента**. Тогда :

$$\mathbb{P}\left(t_{\frac{1-\alpha}{2}, n-1} \leq t \leq t_{\frac{1+\alpha}{2}, n-1}\right) = \alpha.$$

После подстановки выражения для t -статистики, получим

$$\mathbb{P}\left(\bar{X} - t_{\frac{1+\alpha}{2}, n-1} \frac{s}{\sqrt{n}} \leq \mu \leq \bar{X} + t_{\frac{1+\alpha}{2}, n-1} \frac{s}{\sqrt{n}}\right) = \alpha.$$

Таким образом, мы получили доверительный интервал для параметра μ стандартного нормального распределения:

$$\bar{X} - t_{\frac{1+\alpha}{2}, n-1} \frac{s}{\sqrt{n}} \leq \mu \leq \bar{X} + t_{\frac{1+\alpha}{2}, n-1} \frac{s}{\sqrt{n}},$$

s — несмещенное выборочное стандартное отклонение

Теорема 6 (Фишера для нормальных выборок). случайная величина $H = \frac{(n-1)s^2}{\sigma^2}$ имеет распределение \mathcal{X}_{n-1}^2 . Тогда:

$$\mathbb{P}\left(\mathcal{X}_{\frac{1-\alpha}{2}, n-1}^2 \leq H \leq \mathcal{X}_{\frac{1+\alpha}{2}, n-1}^2\right) = \alpha$$

После подстановки выражения для H , получим:

$$\mathbb{P}\left(\frac{(n-1)s^2}{\mathcal{X}_{\frac{1-\alpha}{2}, n-1}^2} \leq \sigma^2 \leq \frac{(n-1)s^2}{\mathcal{X}_{\frac{1+\alpha}{2}, n-1}^2}\right) = \alpha$$

Таким образом, доверительный интервал для параметра σ^2 стандартного нормального распределения:

$$\frac{(n-1)s^2}{\mathcal{X}_{\frac{1-\alpha}{2}, n-1}^2} \leq \sigma^2 \leq \frac{(n-1)s^2}{\mathcal{X}_{\frac{1+\alpha}{2}, n-1}^2}.$$

Рассмотрим последовательность $X_i \sim \text{Cauchy}(a, b)$. Для распределения Коши не существует математического ожидания (ни конечного, ни бесконечного):

$$\mathbb{E}X = \frac{1}{\pi} \int_{-\infty}^{\infty} \frac{x}{x^2 + 1} dx = \frac{1}{2\pi} \ln(x^2 + 1) \Big|_{-\infty}^{\infty} = \infty - \infty$$

По этой причине ЗБЧ для распределения Коши применять нельзя.

Найдем теперь как ведут себя суммы $\frac{S_n}{n}$. Для этого нам понадобится аппарат характеристических функций.

Определение 17. Пусть ξ — случайная величина, а t — вещественное число. Тогда функция $\varphi_\xi(t) = \mathbb{E}e^{it\xi} = \mathbb{E}(\cos(t\xi) + i \sin(t\xi))$ называется характеристической функцией случайной величины ξ .

Характеристическая функция обладает следующими свойствами, следующими из своего определения и свойств математического ожидания:

1. $\varphi_{a\xi+b}(t) = \mathbb{E}e^{it(a\xi+b)} = e^{itb} \mathbb{E}e^{ita\xi} = e^{itb} \varphi_\xi(at) = e^{itb} \phi_{a\xi}(t)$.
2. Если ξ и η — независимые случайные величины, то:

$$\varphi_{\eta+\xi}(t) = \mathbb{E}e^{it(\eta+\xi)} = \mathbb{E}e^{it\eta} \mathbb{E}e^{it\xi} = \varphi_\eta(t) \varphi_\xi(t)$$

Теорема 7 (Единственности). Если случайные величины ξ , таковы, что $\varphi_\xi \equiv \varphi_\eta$, то они распределены одинаково $F_\xi \equiv F_\eta$.

Характеристическая функция для распределения Коши $\xi \sim \text{Cauchy}(a, b)$ равна: $\varphi(t) = e^{ait-b|t|}$. Тогда найдем распределение сумм $\frac{S_n}{n} = \frac{X_1 + \dots + X_n}{n}$, где случайные величины $X_1, \dots, X_n \sim C(x_0, \gamma)$:

$$\varphi_{\frac{S_n}{n}}(t) = \varphi_{S_n}\left(\frac{t}{n}\right) = \left(\varphi_{X_1}\left(\frac{t}{n}\right)\right)^n = \left(e^{e^{ait-b|t|}}\right)^n = \varphi_{X_1}(t).$$

Т.е. суммы распределены по Коши с теми же параметрами $\frac{S_n}{n} \sim \text{Cauchy}(a, b)$.

5.3 Результаты работы программы

5.3.1 Пример, иллюстрирующий справедливость ЗБЧ

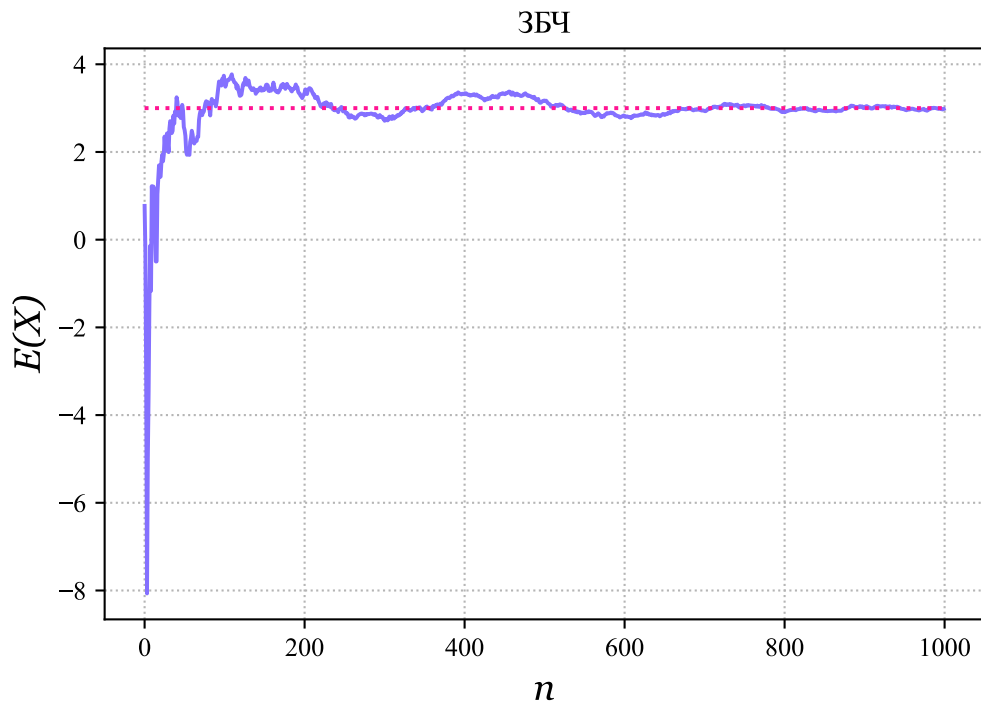


Рис. 20: Справедливость ЗБЧ для последовательности $\xi \sim \mathcal{N}(3, 9)$

5.3.2 Пример, иллюстрирующий справедливость ЦПТ

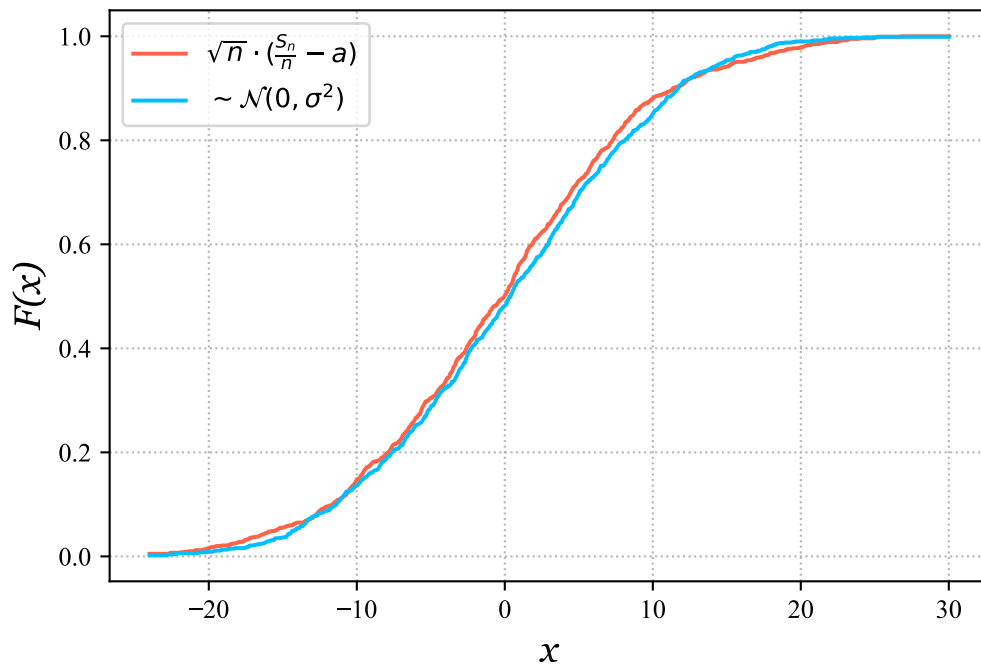


Рис. 21: Справедливость ЦПТ для последовательности $\xi \sim \mathcal{N}(3, 9)$

5.3.3 Построение доверительных интервалов

Получены результаты:

$$4.789385622834607 < \mu = 5 < 5.167903417314773$$

$$2.9429089865208087 < \sigma = 3 < 3.2127838036601357$$

5.3.4 Иллюстрация невыполнимости ЗБЧ для распределения Коши

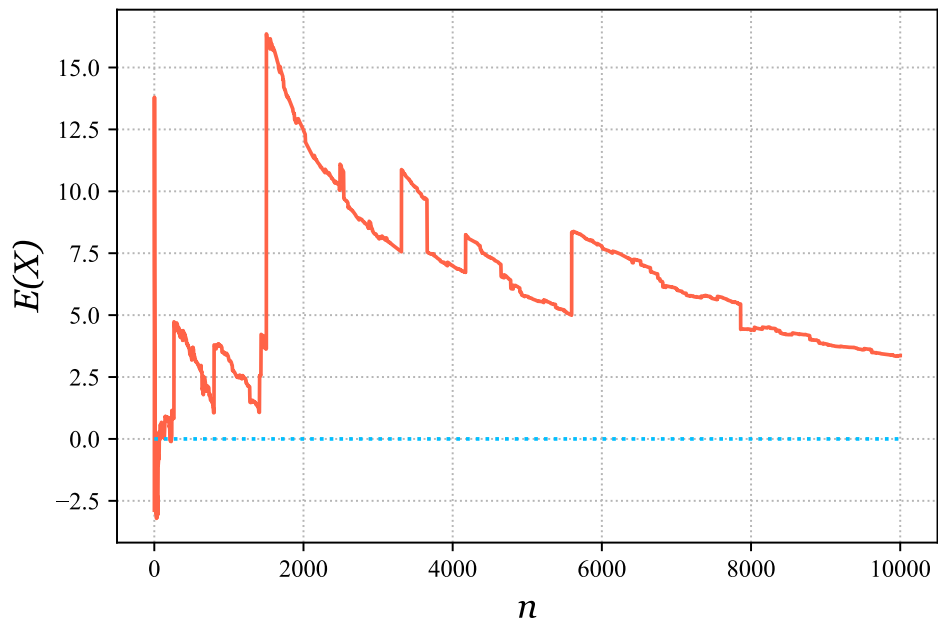


Рис. 22: ЗБЧ для последовательности $\xi \sim Cauchy(0, 3)$

5.3.5 Свойство устойчивости распределения Коши

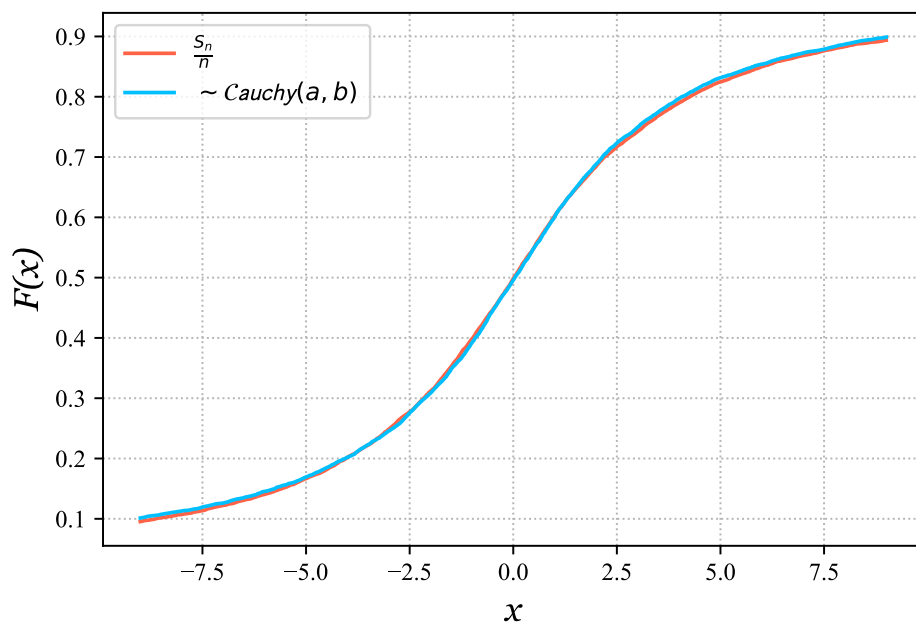


Рис. 23: $\xi \sim Cauchy(0, 3)$

6 Задание 6

6.1 Постановка задачи

1. Посчитать интеграл

$$\int_{-\infty}^{\infty} \int_{-\infty}^{\infty} \dots \int_{-\infty}^{\infty} \frac{e^{-\left(x_1^2 + \dots + x_{10}^2 + \frac{1}{2^7 \cdot x_1^2 \dots x_{10}^2}\right)}}{x_1^2 \cdot \dots \cdot x_{10}^2} dx_1 dx_2 \dots dx_{10}$$

- методом Монте-Карло
- методом квадратур, сводя задачу к вычислению собственного интеграла Римана

2. Для каждого случая оценить точность вычислений.

6.2 Теоретические выкладки

Метод Монте-Карло является единственным численным методом интегрирования по Лебегу, придуманный Джоном фон Нейманом, в качестве замены квадратурным формулам, подверженным «проклятию размерности».

Пусть у нас есть последовательность независимых случайных величин с некоторым распределением Q и со значениями из измеримого пространства (E, \mathcal{E}) . Предположим, что нам необходимо посчитать интеграл:

$$I = \int_E f(x) Q(dx)$$

где $f(x)$ — числовая измеримая функция, $f(x) \geq 0$. В качестве приближенного значения интеграла будем брать:

$$\tilde{I} = \frac{1}{n} \sum_{i=1}^n f(\xi_i)$$

По ЗБЧ значение \tilde{I} стремится к $Ef(\xi)$, которое по определению равно:

$$Ef(\xi) = \int_{\Omega} f(\xi(\omega)) P(d\omega)$$

Вспомнив теорему о замене переменных под знаком интеграла, поймем, что планируем считать как раз то, что нужно:

$$Ef(\xi) = \int_{\Omega} f(\xi(\omega)) P(d\omega) = \int_E f(x) Q(dx) = I$$

Теперь перейдем к применению данного метода к нашей задаче. Обозначим нашу подынтегральную функцию как $\tilde{F}(x) = \tilde{F}(x_1, \dots, x_{10})$. Представим ее как произведение $\tilde{F}(x) = \rho(x)g(x)$, где $\rho(x)$ — плотность абсолютно непрерывного распределения, а $g(x)$ — оставшаяся часть $\tilde{F}(x)$. Тогда задача вычисления интеграла сведется к поиску математического ожидания случайной величины $\eta = g(X)$:

$$\int_{\mathbb{R}^{10}} \tilde{F}(x) dx = \int_{\mathbb{R}^{10}} \rho(x) g(x) dx = \mathbb{E}g(X) = \mathbb{E}\eta$$

Теперь, посмотрим, плотность какого распределения лучше всего подходит в нашем случае для $\rho(x)$. «Базовым» распределением для подсчета методом Монте-Карло является равномерное, однако благодаря наличию квадратов суммы аргумента в степени экспоненты, удобнее будет воспользоваться нормальным распределением. Итак, $\rho(x)$ - плотность совместного распределения случайного вектора с 10-ю компонентами, имеющим и нормальное распределение с параметрами $\mu = 0, \sigma^2 = \frac{1}{2}$:

$$\rho(x) = \pi^{-5} e^{-(x_1^2 + \dots + x_{10}^2)}$$

$$g(x) = \pi^5 \frac{e^{-\frac{1}{2^7 \cdot x_1^2 \dots x_{10}^2}}}{x_1^2 \cdot \dots \cdot x_{10}^2}$$

Таким образом, в качестве приближенного значения интеграла мы будем брать следующую величину:

$$\tilde{I} = \frac{1}{n} \sum_{i=1}^n g(\xi_1^i, \dots, \xi_{10}^i), \quad \xi_j^i \sim \mathcal{N}\left(0, \frac{1}{2}\right), \quad \forall i = \overline{1, n}, \quad \forall j = \overline{1, 10}.$$

Погрешность метода Монте-Карло оценим с помощью ЦПТ:

$$\begin{aligned} \mathbb{P}(|\tilde{I} - I| \leq \varepsilon) &= \mathbb{P}\left(\left|\frac{S_n}{n} - I\right| \leq \varepsilon\right) = \mathbb{P}\left(\left|\frac{S_n - nI}{n}\right| \leq \varepsilon\right) = \mathbb{P}\left(\left|\frac{S_n - nI}{\sqrt{n}\sigma_n}\right| \leq \varepsilon \frac{\sqrt{n}}{\sigma_n}\right) = \\ &= \mathbb{P}\left(\frac{S_n - nI}{\sqrt{n}\sigma_n} \leq \varepsilon \frac{\sqrt{n}}{\sigma_n}\right) - \mathbb{P}\left(\frac{S_n - nI}{\sqrt{n}\sigma_n} \leq -\varepsilon \frac{\sqrt{n}}{\sigma_n}\right) \approx \Phi\left(\varepsilon \frac{\sqrt{n}}{\sigma_n}\right) - \Phi\left(-\varepsilon \frac{\sqrt{n}}{\sigma_n}\right) = \\ &= 2\Phi\left(\varepsilon \frac{\sqrt{n}}{\sigma_n}\right) - 1 = 2F_n\left(\varepsilon \frac{\sqrt{n}}{\sigma_n}\right) - 1 = 2\left(1 - \frac{\alpha}{2}\right) - 1 = 1 - \alpha, \end{aligned}$$

где $F_n, \Phi - \phi$ фнкция стандартного нормального распределения, σ_n^2 - смещенная выборочная дисперсия (для η_n). Тогда получим оценку на погрешность:

$$\varepsilon = \frac{\sigma_n}{\sqrt{n}} K_{1-\frac{\alpha}{2}},$$

где K_α - квантиль стандартного нормального распределения порядка α .

Для вычисления методом квадратур сделаем замену $x_i = \tan\left(\frac{\pi}{2}t_i\right), dx_i = \frac{\pi}{2} \frac{1}{\cos^2\left(\frac{\pi}{2}t_i\right)}, -1 \leq t_i \leq 1, \forall i = \overline{1, 10}$ и, с учетом симметричности, получим новое представление искомого интеграла:

$$I = \pi^{10} \int_0^1 \dots \int_0^1 \frac{e^{-\left(\sum_{i=1}^{10} \tan^2\left(\frac{\pi}{2}t_i\right) + \frac{1}{2^7 \prod_{i=1}^{10} \tan^2\left(\frac{\pi}{2}t_i\right)}\right)}}{\prod_{i=1}^{10} \left(\tan^2\left(\frac{\pi}{2}t_i\right) \cos^2\left(\frac{\pi}{2}t_i\right)\right)} dt_1 \dots dt_{10}$$

6.3 Результаты работы программы

6.3.1 Метод-Монте Карло

`n = 100000, epsilon = 1e-10, alpha = 0.99`

Значение интерграла: 124.0220615848674

Погрешность: 0.04524826105723924

6.3.2 Метод квадратур

`n = 8, h = pi/n`

Значение интерграла: 122.71109951467847

7 Задание 7

7.1 Постановка задачи

1. Методом случайного поиска найти минимальное значение функции f на множестве $A = \{x_1, x_2 : x_1^2 + x_2^2 \leq 1\}$, т. е. $y = \min_{x \in A} f(x)$, где

$$f(x) = x_1^3 \sin\left(\frac{1}{x_1}\right) + 10x_1x_2^4 \cos\left(\frac{1}{x_2}\right)$$

при $x_1 \neq 0$ и $x_2 \neq 0$, функция доопределяется по непрерывности при $x_1 = 0$ или $x_2 = 0$

2. Методом имитации отжига найти минимальное значение функции Розенброка g в пространстве \mathbb{R}^2 , где

$$g(x) = (x_1 - 1)^2 + 100(x_2 - x_1^2)^2$$

3. Оценить точность. Сравнить результаты со стандартными методами оптимизации.

7.2 Теоретические выкладки

Алгоритм **метода случайного поиска** заключается в следующем: мы будем генерировать случайные величины, равномерно распределенные на единичной окружности, а затем сравним значения функции в этих точках и найдем среди них наименьшее.

Перейдём к полярным координатам: $x_1 = r \cos \varphi$, $x_2 = r \sin \varphi$, $r \in [0, 1]$, $\varphi \in [0, 2\pi]$.

Заметим, что $f(x_1, x_2) = f(x_1, -x_2)$, то есть функция чётна по переменной x_2 . С учётом этого, получаем $\varphi \in [0, \pi]$.

$$r \sim U[0, 1]$$

$$\varphi \sim U[0, \pi]$$

Оценим точность предложенного алгоритма. Пусть (x_1, x_2) — точка минимума, полученная описанным выше методом, а (x_1^*, x_2^*) — реальная точка минимума. Тогда будем оценивать разность $|f(x_1, x_2) - f(x_1^*, x_2^*)|$.

Теорема 8. Пусть функция $f : \Omega \rightarrow \mathbb{R}$ непрерывно дифференцируема в выпуклой компактной области Ω пространства \mathbb{R}^n . Тогда $|f(x) - f(y)| \leq \sup_{\xi \in \Omega} |\text{grad } f(\xi)| \cdot |x - y|$.

Получается:

$$|f(x_1, x_2) - f(x_1^*, x_2^*)| \leq \max_{\xi_1^2 + \xi_2^2 \leq 1} |\text{grad } f(\xi_1, \xi_2)| \cdot \underbrace{\text{dist}((x_1, x_2)^T, (x_1^*, x_2^*)^T)}_{\delta}.$$

$$\begin{aligned} \left| \frac{\partial f}{\partial x_1} \right| &= \left| 3x_1^2 \sin \frac{1}{x_1} - x_1 \cos \frac{1}{x_1} + 10x_2^4 \cos \frac{1}{x_2} \right| \leq \\ &\leq 3x_1^2 \left| \sin \frac{1}{x_1} \right| + |x_1| \left| \cos \frac{1}{x_1} \right| + 10x_2^4 \left| \cos \frac{1}{x_2} \right| \leq 3x_1^2 + |x_1| + 10x_2^4 = \\ &= 3x_1^2 + |x_1| + 10(1 - x_1^2)^2 \leq 10x_1^4 - 17x_1^2 + 11 \leq 11, \end{aligned}$$

$$\begin{aligned} \left| \frac{\partial f}{\partial x_2} \right| &= \left| 40x_1x_2^3 \cos \frac{1}{x_2} + 10x_1x_2^2 \sin \frac{1}{x_2} \right| \leq 40|x_1||x_2| \left| \cos \frac{1}{x_2} \right| + 10|x_1|x_2^2 \left| \sin \frac{1}{x_2} \right| = \\ &= 10|x_1|(1 - x_1^2) \left(4\sqrt{1 - x_1^2} + 1 \right) \leq 50|x_1|(1 - x_1^2) \leq 19,245. \end{aligned}$$

\Downarrow

$$|f(x_1, x_2) - f(x_1^*, x_2^*)| \leq \sqrt{11^2 + 19,245^2} \cdot \delta \leq \underbrace{22,17}_{C} \delta.$$

Полученная оценка зависит от того, насколько близко построенная нами случайная величина окажется к реальной точке минимума. Оценим вероятность того, что хотя бы одна случайная величина из n окажется в δ -окрестности искомой точки минимума. В худшем случае точка минимума может оказаться на границе множества A (в таком случае δ -окрестность будет иметь минимальную площадь, а, значит, вероятность попадания туда равномерно распределенной случайной величины будет минимальной), поэтому оценивать будем вероятность попадания именно в граничную δ -окрестность. Также учтем, что заданная функция f является четной по переменной x_2 , что говорит о наличии как минимум двух точек минимума, поэтому вероятность попадания в окрестности минимумов увеличивается в 2 раза.

$$p \geq 1 - \left(1 - \frac{\arccos(2 - \frac{\delta^2}{2}) - 2 \sin \left(\arccos(1 - \frac{\delta^2}{2}) \right) + \pi \delta^2}{\pi} \right)^n \approx 1 - (1 - \delta^2)^n.$$

Теперь, мы можем определить сколько потребуется генераций случайной величины, чтобы найти минимум функции с заданной погрешностью и уровнем доверия. В рамках же задания мы пойдем обратным путем: мы будем вычислять погрешность, исходя из уровня доверия и количества генераций:

$$\varepsilon = C \left(1 - (1 - p)^{\frac{1}{n}} \right)^{\frac{1}{2}} \approx C \sqrt{\frac{p}{n}} = 22,17 \sqrt{\frac{p}{n}}.$$

Метод имитации отжига основывается на имитации физического процесса, который происходит при кристаллизации вещества. Предполагается, что атомы уже выстроились в

кристаллическую решётку, но ещё допустимы переходы отдельных атомов из одной ячейки в другую. Считается, что процесс протекает при постепенно понижающейся температуре. Переход атома из одной ячейки в другую происходит с некоторой вероятностью, причём вероятность понижается с понижением температуры. Устойчивая кристаллическая решётка соответствует минимуму энергии атомов, поэтому атом либо переходит в состояние с меньшим уровнем энергии, либо остаётся на месте.

При помощи моделирования процесса ищется одна или множество точек, где достигается минимум числовой функции $g(x)$, где $x = (x_1, \dots, x_m) \in X$. Решение ищется последовательным вычислением точек x^0, x^1, \dots пространства X ; каждая точка, начиная с x^1 , «претендует» на то, чтобы лучше предыдущих приближать решение. Алгоритм принимает точку x^0 как исходные данные. На каждом шаге алгоритм (который описан ниже) вычисляет новую точку и понижает значение величины (изначально положительной), понимаемой как «температура». Алгоритм останавливается по достижении точки, которая оказывается при температуре ноль.

Точка x^{i+1} по алгоритму получается на основе текущей точки x^i следующим образом. К точке x_i применяется оператор A , который случайным образом модифицирует соответствующую точку, в результате чего получается новая точка x^* . Точка x^* становится точкой x^{i+1} с вероятностью $p(x^*, x^{i+1})$, которая вычисляется в соответствии с распределением Гиббса:

$$p(x^* \rightarrow x^{i+1} | x^i) = \begin{cases} 1, & \text{при } g(x^*) - g(x^i) < 0, \\ \exp\left(-\frac{g(x^*) - g(x^i)}{t_i}\right), & \text{при } g(x^*) - g(x^i) \geq 0. \end{cases}$$

Здесь $t_i > 0$ — элементы произвольной убывающей, сходящейся к нулю положительной последовательности, которая задаёт аналог падающей температуры в кристалле.

Алгоритм имитации отжига не гарантирует нахождения минимума функции, однако при правильной политике генерации случайной точки в пространстве X , как правило, происходит улучшение начального приближения.

7.3 Результаты работы программы

7.3.1 Метод случайного поиска

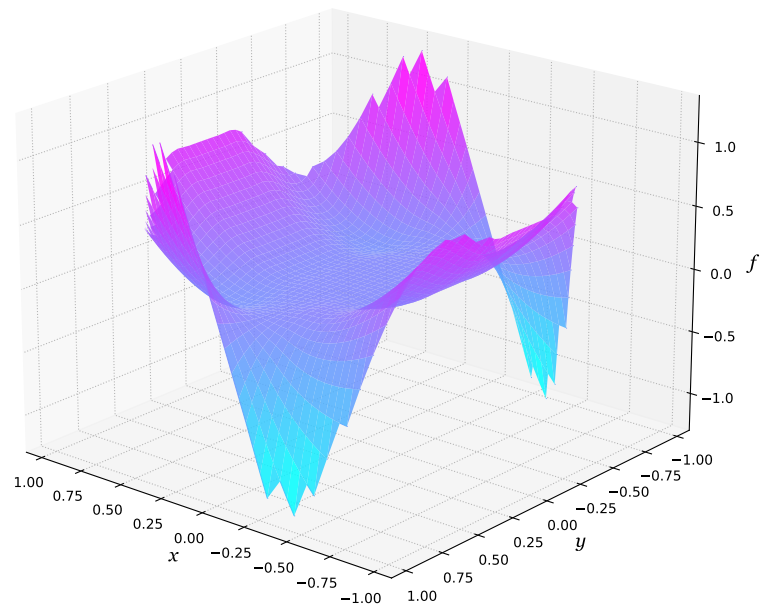


Рис. 24: $f(x)$, min значение ≈ -1.2856 , погрешность ≈ 0.0221

7.3.2 Метод оджига

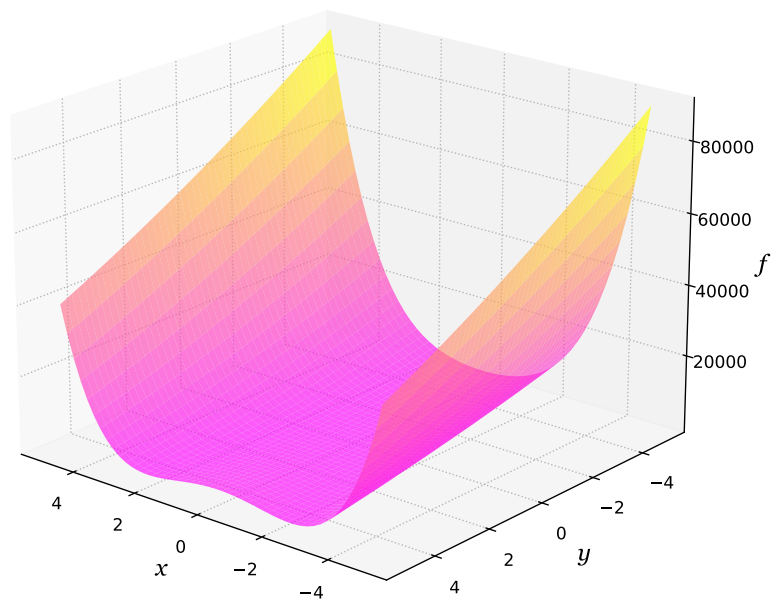


Рис. 25: $g(x)$, min значение ≈ 0.00018

8 Задание 8

8.1 Постановка задачи

Применить метод Монте-Карло к решению первой краевой задачи для двумерного уравнения Лапласа в единичном круге:

$$\begin{cases} \Delta u = 0, (x, y) \in D \\ u|_{\partial D} = f(x, y) \\ u \in C^2(D), f \in C(\partial D) \\ D = \{x, y : x^2 + y^2 \leq 1\} \end{cases}$$

Для функции $f(x, y) = x^2 - y^2$ найти аналитическое решение и сравнить с полученным по методу Монте-Карло.

8.2 Теоретические выкладки

Приведем **аналитическое решение**:

$$f(x, y) = x^2 - y^2 = r^2(\cos^2 \varphi - \sin^2 \varphi) = r^2 \cos(2\varphi)$$

$$x^2 + y^2 = r^2(\cos^2 \varphi + \sin^2 \varphi) = r^2 \leq 1$$

То есть рассматривается задача Дирихле внутри круга $r \leq 1$, тогда решение представимо в виде:

$$u(r, \varphi) = C_2 + \sum_{k=1}^{\infty} r^k (A_k \cos(k\varphi) + B_k \sin(k\varphi))$$

$$u|_{x^2+y^2=1} = u|_{r=1} = r^2|_{r=1} \cos(2\varphi) = \cos(2\varphi)$$

$$k = 2, A_k = 1, C_2 = 0, B_k = 0$$

Ответ: $u(r, \varphi) = r^2 \cos(2\varphi)$ или $u(x, y) = x^2 - y^2$.

Практическое решение:

Применим двумерный метод Монте-Карло для решения имеющейся внутренней задачи Дирихле. Для этого выберем шаг h и проведем в плоскости, содержащей D , сетку из элементарных квадратов. Будем рассматривать только узлы, попавшие в область D . Их можно разделить на два типа: внутренние - для которых 4 соседних узла лежат внутри или на границе области, и граничные - для которых число соседних внутренних узлов меньше 4. Значения функции u , заданные на границе, переносятся на граничные узлы $Q : u(Q) = f(Q)$. А значения во внутренних узлах P вычисляются из соотношения:

$$u(P) = \frac{u(P_1) + u(P_2) + u(P_3) + u(P_4)}{4},$$

где P_1, P_2, P_3, P_4 - соседние узлы к P .

Рассмотрим связанную с этой системой теоретико-вероятностную схему. Эту схему принято объяснять в виде «задачи о пьяных». Будем рассматривать стороны решетки как городские кварталы, а узлы - как перекрестки городских улиц. Предположим, что из узла P выходит человек, который с равной вероятностью ($\frac{1}{4}$) может попасть в любой из соседних узлов. Аналогично, попав в очередной узел (войдя на очередной перекресток), он с равной вероятностью идет по одному из примыкающих к этому перекрестку кварталов,

пока не выйдет на очередной перекресток. Будем считать, что город обнесен глубоким ровом, т.е. выйдя на границу города (граничный узел решетки), "пьяный" сваливается в ров (остается в этом узле). Возникает вопрос об отыскании вероятности $u(P, Q)$ того, что «пьяный», выйдя из узла P , окончит блуждание в граничном узле Q .

Не ограничивая время, можно утверждать, что с вероятностью, равной единице, человек, в конце концов, окажется в граничной точке. Найти искомую вероятность в явном виде сложно, однако можно вывести полезное соотношение. Заметим, что событие, заключающееся в том, что «пьяный» попадет из точки P в точку Q , равносильно тому, что он из точки P попадет в либо в точку P_1 , либо в P_2 , либо в P_3 , либо в P_4 , а оттуда в Q . Так как вероятности попадания в соседние узлы равны, то по теореме сложения вероятностей получим систему:

$$u(P, Q) = \frac{u(P_1, Q) + u(P_2, Q) + u(P_3, Q) + u(P_4, Q)}{4}$$

причем, вероятность $u(P, Q)$, удовлетворяет следующим краевым условиям для граничных узлов:

$$u(Q_1, Q_2) = \begin{cases} 1 & Q_1 = Q_2, \\ 0, & Q_1 \neq Q_2 \end{cases}$$

Если промоделировать движение человека N раз, то заставляя его каждый раз стартовать из точки P , и сосчитать количество M испытаний, при которых его путь оканчивается в Q , то получим:

$$\frac{M}{N} \approx u(P, Q)$$

Предположим, что после того, как «пьяный» сваливается в ров в граничном узле Q , с него взимается штраф, равный $f(Q)$. Тогда величина штрафа при выходе из точки P будет случайной величиной $\xi(P)$ со значениями $\{f(Q_1), \dots, f(Q_s)\}$, где $\{Q_1, \dots, Q_s\}$ — совокупность всех граничных узлов. Вероятность заплатить штраф $f(Q_i)$ равна $u(P, Q_i)$. Тогда мат ожидание случайной величины зависит от начальной точки P и равно:

$$\omega(P) = \mathbb{E}\xi(P) = \sum_{i=1}^s f(Q_i) u(P, Q_i)$$

Полученная функция $\omega(P)$ удовлетворяет разностному уравнению

$$\omega(P) = \frac{\omega(P_1) + \omega(P_2) + \omega(P_3) + \omega(P_4)}{4}$$

Тогда получим алгоритм решения внутренней задачи Дирихле методом Монте-Карло:

1. Строим сетку из элементарных квадратиков с шагом h .
2. Делим узлы на граничные и внутренние. для граничных верно, что $u(Q) = f(Q)$.
3. Из каждого внутреннего узла P пустим N случайных блужданий. Обозначив за Q_i — узел, в котором закончилось i -е блуждание, получим значение функции в узле P :

$$u(P) = \frac{\sum_{i=1}^N f(Q_i)}{N}$$

8.3 Результаты работы программы

8.3.1 Аналитическое решение Analytical solution

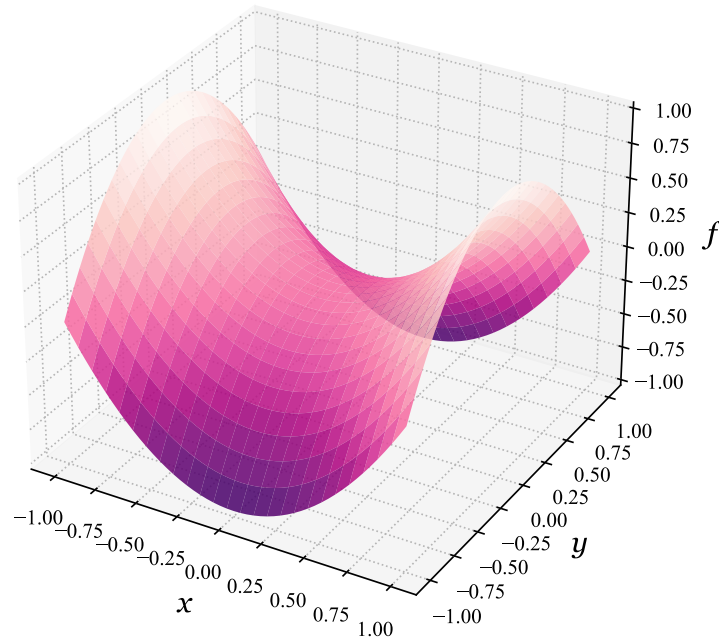


Рис. 26: $f(x, y) = x^2 - y^2$, $n = 50$ точек

8.3.2 Пример работы метода Монте-Карло

Monte-Carlo solution

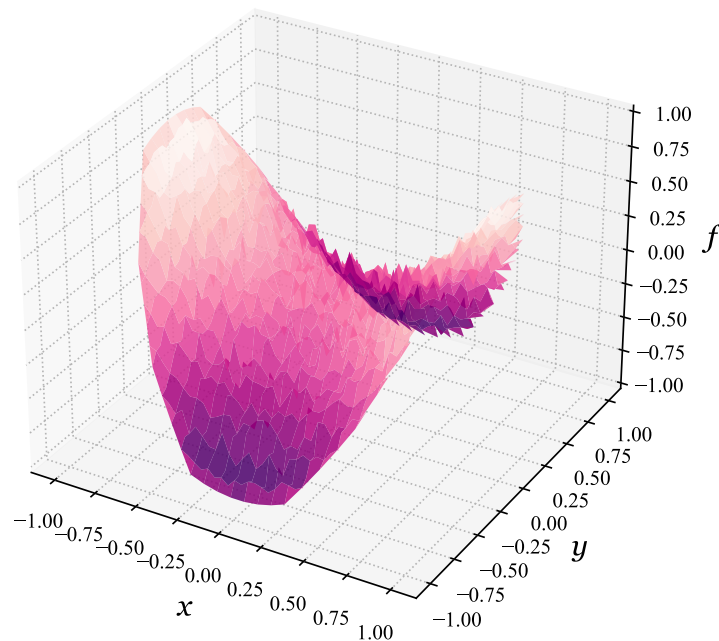


Рис. 27: Решение методом Монте-Карло

8.3.3 Разбиение точек на внутренние и граничные

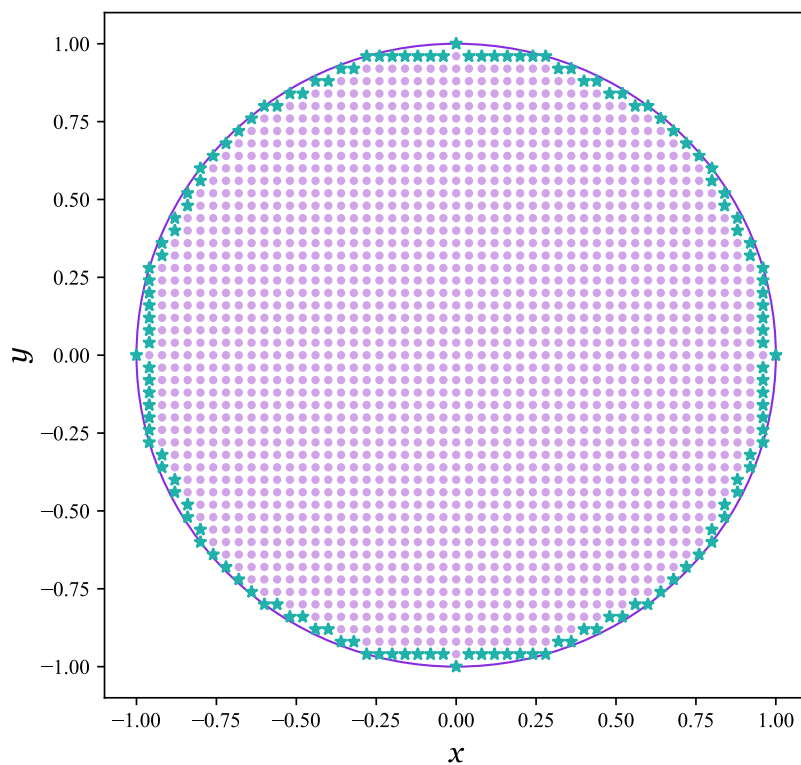


Рис. 28: $n = 50$ точек

9 Задание 9

9.1 Постановка задачи

Рассмотреть два вида процессов:

- Винеровский процесс $W(t), t \in [0; 1], W(0) = 0$
- Процесс Орнштейна-Уленбека $X(t), t \in [0; 1], X(0) = X_0$, то есть стационарный марковский гауссовский процесс. Начальное значение X_0 генерируются случайным образом так, чтобы полученный процесс был стационарным.

Для данных гауссовских процессов:

1. Найти ковариационную функцию и переходные вероятности.
2. Моделировать независимые траектории процесса с данными переходными вероятностями методом добавления разбиения отрезка.
3. Построить график траектории, не соединяя точки ломаной, с целью получения визуально непрерывной линии.

9.2 Теоретические выкладки

Определение 18. Случайным процессом $X_t, t \in T$ называется континуальное семейство случайных величин $X^T = X_t, t \in T$, определенных на общем фазовом пространстве $(\mathcal{X}, \mathcal{A})$, где множество индексов T трактуется как время.

Рассмотрим произвольный случайный процесс $X_t, t \in T = [0, +\infty)$ на $(\mathcal{X}, \mathcal{A})$.

Определение 19. Случайный процесс $X_t, t \in T$ (T произвольной мощности) называется гауссовским, если для любого конечного набора индексов $t_1, t_2, \dots, t_n \in T$ случайный вектор $(X_{t_1}, X_{t_2}, \dots, X_{t_n})$ является гауссовским (имеет многомерное нормальное распределение).

Если существует гауссовский процесс, то для него определены функции математического ожидания и ковариации:

$$m(t) = \mathbb{E}(X_t), \quad \text{cov}(t, s) = \text{cov}(X_t, X_s),$$

Через последнюю определяется следующая симметричная и положительно определенная ковариационная матрица:

$$R = R(t_1, t_2, \dots, t_n) = \begin{pmatrix} \text{cov}(t_1, t_1) & \text{cov}(t_1, t_2) & \dots & \text{cov}(t_1, t_n) \\ \text{cov}(t_2, t_1) & \text{cov}(t_2, t_2) & \dots & \text{cov}(t_2, t_n) \\ \dots & \dots & \dots & \dots \\ \text{cov}(t_n, t_1) & \text{cov}(t_n, t_2) & \dots & \text{cov}(t_n, t_n) \end{pmatrix}$$

В свою очередь, через полученную ковариационную матрицу и математическое ожидание выражается плотность маргинальных распределений:

$$p_{X_1, \dots, X_n}(x) = \frac{1}{\sqrt{(2\pi)^n \det(R)}} e^{-\frac{\langle R^{-1}(x-m), (x-m) \rangle}{2}},$$

где $x = (x_1, \dots, x_n)$, $m = (m(t_1), \dots, m(t_n))$.

Определение 20. Случайный процесс $X_t, t \in T = [0, +\infty)$ называется процессом с независимыми приращениями, если для любых $0 \leq t_1 < t_2 < \dots < t_n$ случайные элементы (со значениями в \mathcal{X}) $X_{t_0}, X_{t_1} - X_{t_0}, \dots, X_{t_n} - X_{t_{n-1}}$ независимы в совокупности.

Утверждение 1. Процесс с независимыми приращениями обладает марковским свойством.

Для процесса, обладающего марковским свойством, выполнено уравнение Колмогорова-Чепмена.

Обозначим $P_{X_{t+h}|X_t=x}(A) = P^{t,t+h}(x, A)$ – вероятность перехода из состояния x в момент времени t во множество A в момент времени $t+h$ (переходное ядро). Тогда уравнение Колмогорова-Чепмена имеет вид: $0 \leq s < t < u$

$$\int_{\mathcal{X}} P^{s,t}(x, dy) P^{t,u}(y, A) = P^{s,u}(x, A).$$

Определение 21. Случайный процесс $X_t, t \in T = [0, +\infty)$ называется однородным по времени, если распределения приращений $X_{t+h} - X_t$ не зависят от t при $\forall h > 0$.

Однородный по времени процесс с независимыми приращениями называется процессом с независимыми однородными приращениями.

Уравнение Колмогорова-Чепмена для процессов с независимыми однородными приращениями имеет вид: $(Q_h = P_{X_{t+h}-X_t})$

$$Q_{h_1} * Q_{h_2} = Q_{h_1+h_2},$$

где «*» - операция свертки приращений, и $P^{t,t+h}(x, A) = Q_h(A - x)$.

Определение 22. Винеровским процессом (стандартным броуновским движением) называется процесс с независимыми однородными приращениями, имеющий непрерывные траектории, причем $\mu = 0$; $\sigma = 1$; $P(X_0 = 0) = 1$; $X_{t+h} - X_t \sim \mathcal{N}(0, h)$, $\forall h > 0$.

Найдем ковариационную функцию Винеровского процесса. Для $0 = t_0 < t_1 < \dots < t_n$ рассмотрим случайный вектор $\delta X = (X_{t_1} - X_{t_0}, X_{t_2} - X_{t_1}, \dots, X_{t_n} - X_{t_{n-1}})$ приращений процесса. Посчитаем плотность распределения этого вектора:

$$\begin{aligned} p_{\delta X}(y_1, \dots, y_n) &= \{\text{независимость приращений}\} = \prod_{i=1}^n p_{X_{t_i} - X_{t_{i-1}}}(y_i) = \\ &= \{X_{t_i} - X_{t_{i-1}} \sim \mathcal{N}(0, t_i - t_{i-1})\} = \prod_{i=1}^n \frac{1}{\sqrt{2\pi(t_i - t_{i-1})}} e^{-\frac{y_i^2}{2(t_i - t_{i-1})}} = \\ &= e^{-\sum_{i=1}^n \frac{y_i^2}{2(t_i - t_{i-1})}} \prod_{i=1}^n \frac{1}{\sqrt{2\pi(t_i - t_{i-1})}}. \end{aligned}$$

Вспомним про $P(X_0 = 0) = 1$:

$$\begin{aligned} P(X_1 - X_0 = y_1, X_2 - X_1 = y_2, \dots, X_n - X_{n-1} = y_n) &= \\ = P(X_1 = y_1, X_2 - y_1 = y_2, \dots, X_n - y_{n-1} = y_n) &= \\ = P(X_1 = y_1, X_2 = y_1 + y_2, \dots, X_n = y_{n-1} + y_n) & \end{aligned}$$

Тогда:

$$p_{\delta X}(y_1, \dots, y_n) = p_{X_1, \dots, X_n}(y_1, y_1 + y_2, \dots, y_{n-1} + y_n)$$

Таким образом:

$$\begin{aligned} p_{X_1, \dots, X_n}(x_1, \dots, x_n) &= p_{\delta X}(x_1, x_2 - x_1, \dots, x_n - x_{n-1}) = \\ = e^{-\sum_{i=1}^n \frac{(x_i - x_{i-1})^2}{2(t_i - t_{i-1})}} \prod_{i=1}^n \frac{1}{\sqrt{2\pi(t_i - t_{i-1})}}. \end{aligned}$$

С другой стороны:

$$p_{X_1, \dots, X_n}(x) = \frac{1}{\sqrt{(2\pi)^n \det(R)}} e^{-\frac{\langle R^{-1}(x-m), (x-m) \rangle}{2}}$$

Тогда получим :

$$m = 0, \quad R = (\min(t_i, t_j))_{i,j=1}^n.$$

Т.е. ковариационная функция равна $\text{cov}(t, s) = \min(s, t)$.

Независимые траектории винеровского процесса будем моделировать методом разделения отрезка $[0, 1]$ в отношении α исходя из следующих соображений:

1. В начальный момент времени $X_0 = 0$.
2. W_1 генерируем из $W_1 - W_0 \sim \mathcal{N}(0, 1)$.
3. Разделим отрезок $[t_1, t_2]$ в отношении $\alpha \in (0, 1)$ точкой $t = (1 - \alpha)t_1 + \alpha t_2$. Рассмотрим условную плотность маргинального распределения:

$$p_{W_t}(x \mid W_{t_1} = x_1, W_{t_2} = x_2) = \frac{p_{W_{t_1}, W_t, W_{t_2}}(x_1, x, x_2)}{p_{W_{t_1}, W_{t_2}}(x_1, x_2)}.$$

В соответствии с написанным выше: плотности маргинальных распределений, написанных справа, будут равны:

$$p_{W_{t_1}, W_t, W_{t_2}}(x_1, x, x_2) = \frac{1}{\sqrt{(2\pi)^3 \det(R_1)}} e^{-\frac{(x_1, x, x_2) \cdot R_1^{-1} \cdot (x_1, x, x_2)'}{2}},$$

$$p_{W_{t_1}, W_{t_2}}(x_1, x_2) = \frac{1}{\sqrt{(2\pi)^2 \det(R_2)}} e^{-\frac{(x_1, x_2) \cdot R_2^{-1} \cdot (x_1, x_2)'}{2}},$$

где R_1, R_2 — соответствующие матрицы ковариаций. Т.к. $\text{cov}(t, s) = \min(s, t)$, то находим выражения для R_1 и R_2 :

$$R_1 = \begin{pmatrix} \min(t_1, t_1) & \min(t_1, t_2) & \min(t_1, t_3) \\ \min(t_2, t_1) & \min(t_2, t_2) & \min(t_2, t_3) \\ \min(t_3, t_1) & \min(t_3, t_2) & \min(t_3, t_3) \end{pmatrix} = \begin{pmatrix} t_1 & t_1 & t_1 \\ t_1 & t & t \\ t_1 & t & t_2 \end{pmatrix},$$

$$R_2 = \begin{pmatrix} t_1 & t_1 \\ t_1 & t_2 \end{pmatrix}$$

4. Считаём определители и обратные матрицы для R_1 и R_2 :

$$|R_1| = t_1(t - t_2)(t_2 - t), \quad |R_2| = t_1(t_2 - t_1),$$

$$R_1^{-1} = \begin{pmatrix} \frac{t}{t_1(t-t_1)} & \frac{t}{t_1-t} & 0 \\ \frac{1}{t_1-t} & \frac{t_1-t}{(t_2-t)(t-t_1)} & \frac{1}{t-t_2} \\ 0 & \frac{1}{t-t_2} & \frac{1}{t_2-t} \end{pmatrix}, \quad R_2^{-1} = \begin{pmatrix} \frac{t_2}{t_1(t_2-t_1)} & \frac{1}{t_1-t_2} \\ \frac{1}{t_1-t_2} & \frac{1}{t_2-t_1} \end{pmatrix}.$$

5. Подставляя определители и обратные матрицы в формулу условной вероятности, а также вспоминая, что $t = (1 - \alpha)t_1 + \alpha t_2$, получим:

$$p_{W_t}(x \mid W_{t_1} = x_1, W_{t_2} = x_2) = \frac{1}{\sqrt{2\pi\alpha(1-\alpha)(t_2-t_1)}} e^{\frac{(x-(1-\alpha)x_1-\alpha x_2)^2}{2\alpha(1-\alpha)(t_2-t_1)}}.$$

Т.е. следующая случайная величина генерируется с нормальным распределением $W_t \sim \mathcal{N}((1 - \alpha)x_1 + \alpha x_2, \alpha(1 - \alpha)(t_2 - t_1))$.

Итак, сформулируем алгоритм построения траектории винеровского процесса:

1. Вводим входные данные алгоритма: $t_0 = 0, t_1 = 1, W_0 = 0$.
2. Разыгрываем $W_1 \sim \mathcal{N}(0, 1)$.
3. Делим отрезок $[t_0, t_1]$ точкой $t = (1 - \alpha)t_1 + \alpha t_0$, разыгрываем случайную величину $W_t \sim \mathcal{N}((1 - \alpha)x_1 + \alpha x_2, \alpha(1 - \alpha)(t_1 - t_0))$.

4. Рекурсивно продолжаем делить отрезок и генерировать W_t пока не достигнем нужной точности $t_{k+1} - t_k \leq \varepsilon$.
5. Дополнительно: для проверки правильности работы алгоритма можно построить доверительные интервалы по правилу трех сигм.

Определение 23. Случайный процесс $X_t, t \in T$ называется стационарным в узком смысле если $\forall t_1, \dots, t_n \in T$ совместное распределение случайных величин одно и то же $\forall \tau : t_1 + \tau, \dots, t_n + \tau \in T$.

Определение 24. Процессом Орнштейна-Уленбека называется марковский гауссовский стационарный процесс.

Процесс Орнштейна-Уленбека обладает свойством симметричности.

Для процесса Орнштейна-Уленбека работает уравнение Колмогорова-Чепмена, определенное для процессов обладающих марковскими свойствами. Тогда для коэффициента корреляции выполнено: $\rho(t+s) = \rho(t)\rho(s)$. Найдем переходную плотность данного процесса:

$$p_{X_t}(x_1 | X_s = x_2) = \frac{p_{X_t, X_s}(x_1, x_2)}{p_{X_s}(x_2)}.$$

Из стационарности процесса имеем:

$$EX_t = m, \text{Var } X_t = \sigma^2, \text{cov}(s, t) = \text{cov}(|s - t|) = \rho(|t - s|) \text{Var } X_t = \rho(|t - s|) \sigma^2$$

По аналогии с винеровским процессом, запишем плотности маргинальных распределений:

$$p_{X_t, X_s}(x_1, x_2) = \frac{1}{\sqrt{(2\pi)^2 \det(R)}} e^{-\frac{(x_1, x_2) R^{-1} (x_1, x_2)'}{2}}, \quad p_{X_s}(x_2) = \frac{1}{\sqrt{2\pi\sigma}} e^{-\frac{x_2^2}{2\sigma^2}},$$

где

$$R = \begin{pmatrix} \text{cov}(0) & \text{cov}(|s - t|) \\ \text{cov}(|s - t|) & \text{cov}(0) \end{pmatrix} = \begin{pmatrix} \sigma^2 & \text{cov}(|s - t|) \\ \text{cov}(|s - t|) & \sigma^2 \end{pmatrix}.$$

Т.е. переходная плотность равна:

$$p_{X_t}(x_1 | X_s = x_2) = \frac{1}{\sqrt{2\pi \left(\sigma^2 - \frac{\text{cov}^2(|s-t|)}{\sigma^2} \right)}} e^{-\frac{\left(x_1 - \frac{\text{cov}(|s-t|)}{\sigma^2} x_2 \right)^2}{2 \left(\sigma^2 - \frac{\text{cov}^2(|s-t|)}{\sigma^2} \right)}},$$

т.е. распределение X_t при условии $X_s = x_2$ — это нормальное распределение с параметрами $\mathcal{N}\left(\frac{\text{cov}(|s-t|)}{\sigma^2} x_2, \sigma^2 - \frac{\text{cov}^2(|s-t|)}{\sigma^2}\right)$.

Теорема 9. Пусть функция $u(t)$ определена $\forall t > 0$ и ограничена на каждом конечном интервале. Если $u(t)$ удовлетворяет соотношению $u(t+s) = u(t)u(s)$, то или $u(t) = 0, \forall t > 0$, или $\exists \lambda > 0 : u(t) = e^{-\lambda t}$.

Т.к. $\rho(t+s) = \rho(t)\rho(s)$, то эта теорема применима к коэффициенту корреляции. Тогда, если $\rho(t) = 0, \forall t > 0$, то $\forall t, s > 0 \text{ cov}(X_t, X_s) = 0$, что с учетом гауссовости процесса означает независимость в совокупности случайных величин X_t . В таком случае, моделирование процесса Орнштейна-Уленбека заключается в генерации независимых сл.в. с распределением $\mathcal{N}\left(\frac{\text{cov}(|s-t|)}{\sigma^2}x_2, \sigma^2 - \frac{\text{cov}^2(|s-t|)}{\sigma^2}\right)$.

Рассмотрим $\rho(t) = e^{-\lambda t}$, $\text{cov}(t, s) = e^{-\lambda(t-s)}\sigma^2$. Для моделирования траекторий процесса X_t методом, таким же, как для винеровского процесса, вычислим условную плотность:

$$p_{X_t}(x \mid X_{t_1} = x_1, X_{t_2} = x_2) = \frac{p_{X_{t_1}, X_t, X_{t_2}}(x_1, x, x_2)}{p_{X_{t_1}, X_{t_2}}(x_1, x_2)}, \quad t = (1-\alpha)t_1 + \alpha t_2.$$

Поскольку процесс гауссовский, то плотности маргинальных распределений будут равны:

$$\begin{aligned} p_{X_{t_1}, X_t, X_{t_2}}(x_1, x, x_2) &= \frac{1}{\sqrt{(2\pi)^3 \det(R_1)}} e^{-\frac{(x_1, x, x_2) \cdot R_1^{-1} \cdot (x_1, x, x_2)'}{2}}, \\ p_{X_{t_1}, X_{t_2}}(x_1, x_2) &= \frac{1}{\sqrt{(2\pi)^2 \det(R_2)}} e^{-\frac{(x_1, x_2) \cdot R_2^{-1} \cdot (x_1, x_2)'}{2}}, \\ R_1 &= \begin{pmatrix} 1 & e^{-\lambda(t-t_1)} & e^{-\lambda(t_2-t_1)} \\ e^{-\lambda(t-t_1)} & 1 & e^{-\lambda(t_2-t)} \\ e^{-\lambda(t_2-t_1)} & e^{-\lambda(t_2-t)} & 1 \end{pmatrix} \\ R_2 &= \begin{pmatrix} 1 & e^{-\lambda(t_2-t_1)} \\ e^{-\lambda(t_2-t_1)} & 1 \end{pmatrix} \\ p_{X_t}(x \mid X_{t_1} = x_1, X_{t_2} = x_2) &= \frac{1}{\sqrt{2\pi b^2}} e^{-\frac{(x-a)^2}{2b^2}}, \text{ где} \\ a &= \frac{e^{-\lambda\alpha(t_2-t_1)} (1 - e^{-2\lambda(1-\alpha)(t_2-t_1)}) x_1 + e^{-\lambda(1-\alpha)(t_2-t_1)} (1 - e^{-2\lambda\alpha(t_2-t_1)}) x_2}{1 - e^{-2\lambda(t_2-t_1)}}, \\ b^2 &= \sigma^2 \frac{1 - e^{-2\lambda(1-\alpha)(t_2-t_1)} - e^{-2\lambda\alpha(t_2-t_1)} + e^{-2\lambda(t_2-t_1)}}{1 - e^{-2\lambda(t_2-t_1)}}. \end{aligned}$$

Если положить $\mathbb{E}X_t = m$, то выражения немного изменятся:

$$\begin{aligned} a &= \frac{e^{-\lambda\alpha(t_2-t_1)} (1 - e^{-2\lambda(1-\alpha)(t_2-t_1)}) (x_1 - m) + e^{-\lambda(1-\alpha)(t_2-t_1)} (1 - e^{-2\lambda\alpha(t_2-t_1)}) (x_2 - m)}{1 - e^{-2\lambda(t_2-t_1)}}, \\ p_{X_t}(x \mid X_{t_1} = x_1, X_{t_2} = x_2) &= \frac{1}{\sqrt{2\pi b^2}} e^{-\frac{(x-m-a)^2}{2b^2}} \end{aligned}$$

9.3 Результаты работы программы

9.3.1 Винеровский процесс

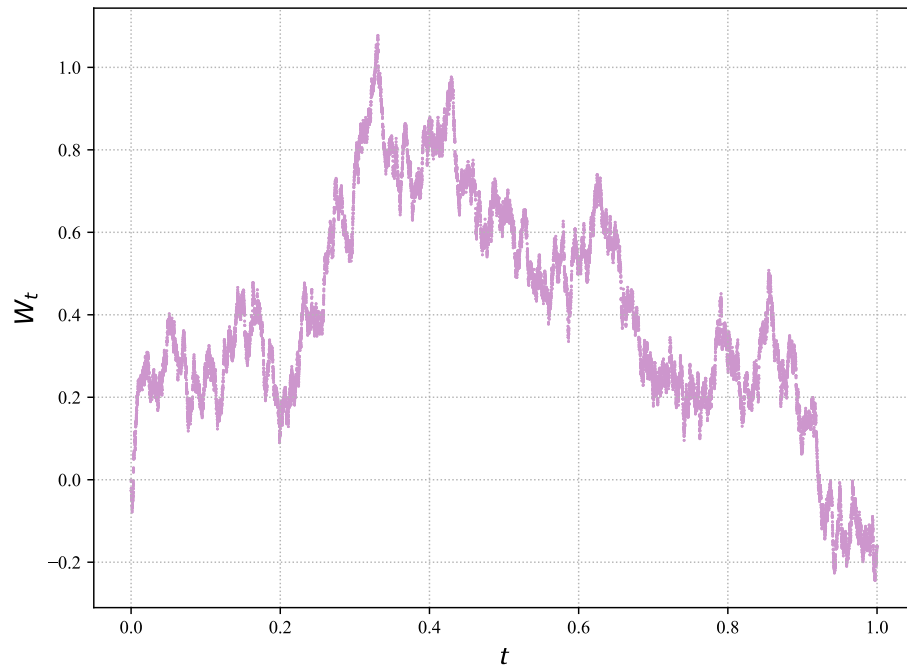


Рис. 29: График траектории винеровского процесса $\alpha = 0.2, \varepsilon = 0.0001$

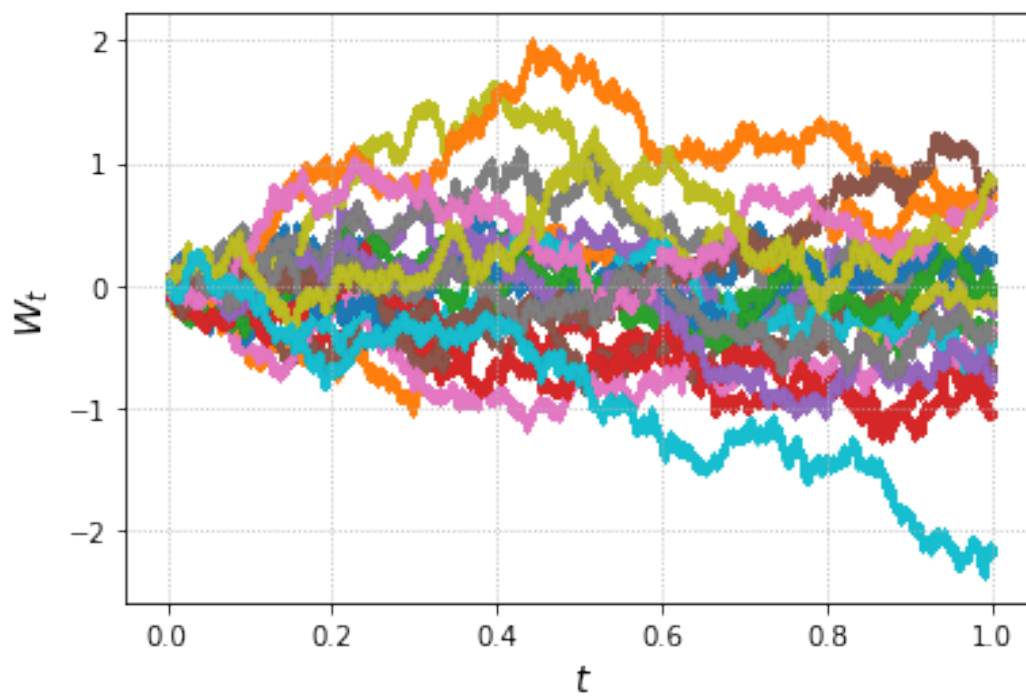


Рис. 30: График траекторий 20 винеровских процессов $\alpha = 0.37, \varepsilon = 0.000001$

9.3.2 Процесс Орнштейна-Уленбека

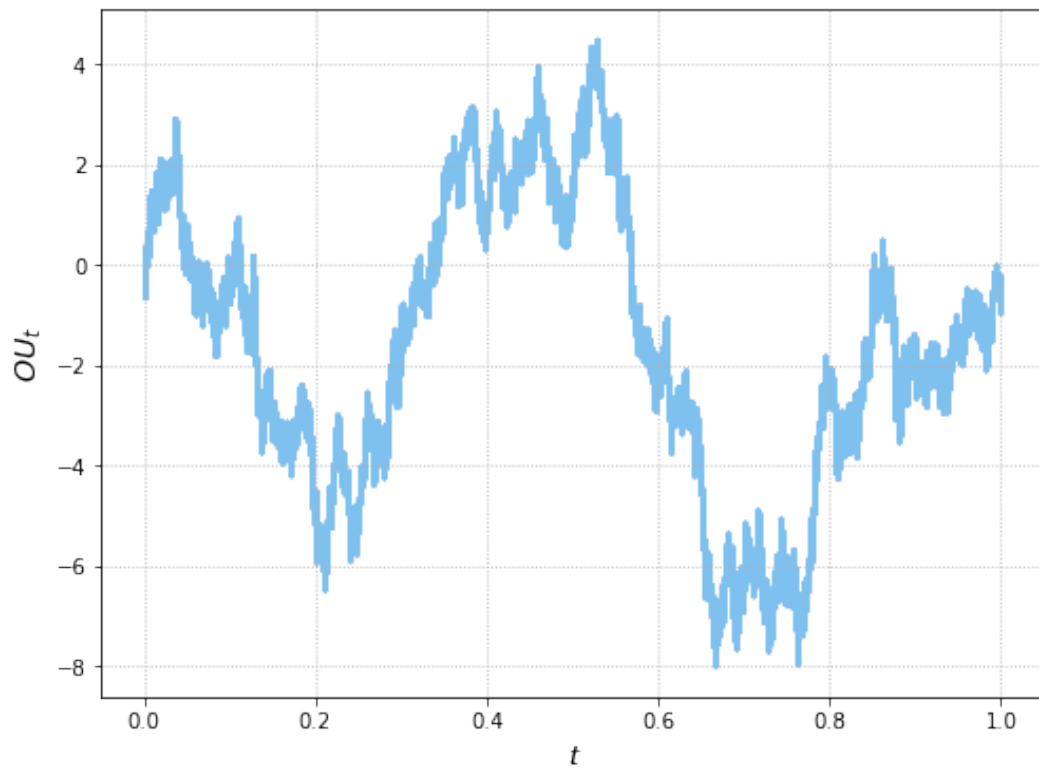


Рис. 31: График траектории процесса Орнштейна-Уленбека, $\sigma = 3$, $\lambda = 6$, $\varepsilon = 0.0001$

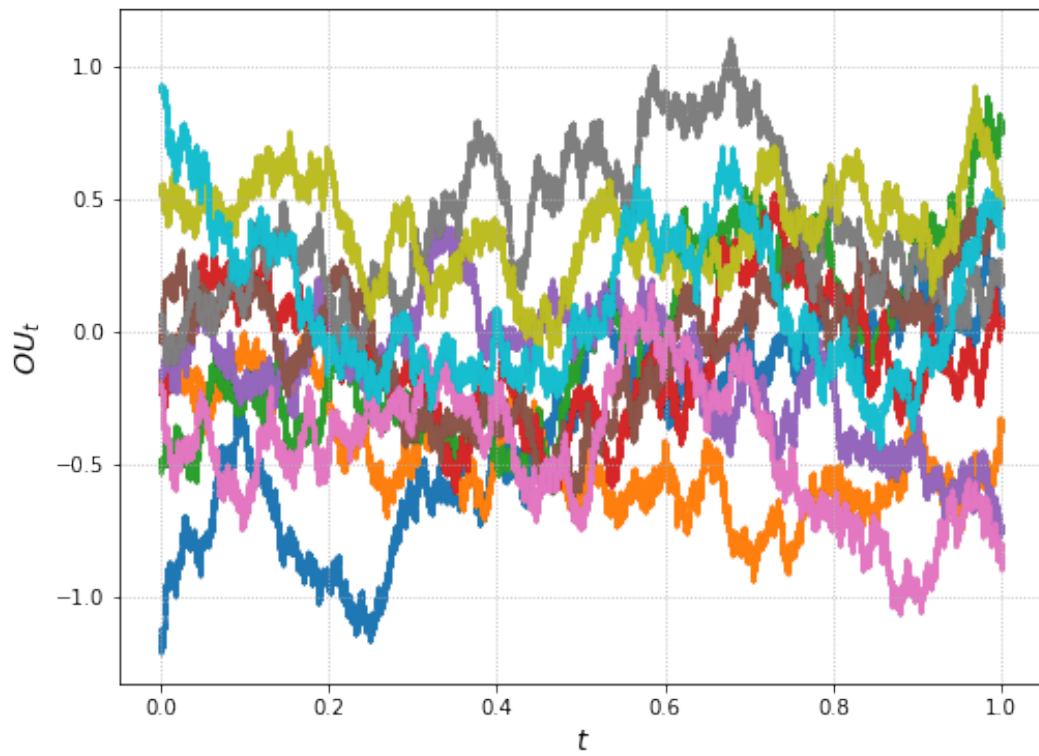


Рис. 32: Траектории 10 процессов Орнштейна-Уленбека, $\sigma = 0.5$, $\lambda = 2$, $\varepsilon = 0.00001$

10 Задание 10

10.1 Постановка задачи

Провести фильтрацию одномерного процесса Орнштейна–Уленбека:

1. Используя генератор белого шума, добавить случайную ошибку с известной дисперсией к реализации процесса Орнштейна–Уленбека.
2. При помощи фильтра Калмана оценить траекторию процесса по зашумленному сигналу. Параметры процесса и белого шума считать известными.
3. Рассмотреть случай, когда шум
 - является гауссовским,
 - имеет распределение Коши.

10.2 Теоретические выкладки

Рассмотрим следующую систему:

$$\begin{cases} x_{k+1} = A_k x_k + w_k, \\ y_{k+1} = C_{k+1} x_{k+1} + v_{k+1}. \end{cases}$$

Здесь $x_0, w_0, \dots, w_{N-1}, v_0, \dots, v_{N-1}$ независимые в совокупности случайные величины. $Y_{N-1} = (y_0, \dots, y_{N-1})^T$ — все наблюдения, а $X_{N-1} = (x_0, \dots, x_{N-1})$ — исходный процесс, который надо найти. Для этого воспользуемся фильтром Калмана, а точнее его схемой «шагаем-меряем», общий вид которой совпадает с вышеприведенной системой. Фильтр Калмана для схемы «шагаем-меряем» имеет вид:

$$\begin{cases} x_{k+1|k} = A_k x_{k|k}, \\ x_{k+1|k+1} = x_{k+1|k} + R_{k+1|k} C_{k+1}^T (C_{k+1} R_{k+1|k} C_{k+1}^T + N_{k+1})^{-1} (y_{k+1} - C_{k+1} x_{k+1|k}), \\ R_{k+1|k} = A_k R_{k|k} A_k^T + M_k, \\ R_{k+1|k+1} = R_{k+1|k} - R_{k+1|k} C_{k+1}^T (C_{k+1} R_{k+1|k} C_{k+1}^T + N_{k+1})^{-1} C_{k+1} R_{k+1|k}, \\ x_{0|0} = \mathbb{E} x_0, \\ R_{0|0} = \mathbb{V}ar x_0. \end{cases}$$

Замечание 1. Достаточно рассматривать только первые и вторые моменты, потому что исследуемый случайный процесс имеет гауссовское распределение, а значит полностью определяется этими величинами.

В нашей задаче x_k — процесс Орнштейна–Уленбека с параметрами σ и λ , $y_{k+1} = x_{k+1} + v_{k+1}$. То есть сразу имеем, что $C = 1$, а N_k — дисперсия белого шума (обозначим эту дисперсию за σ_v^2). В системе нам пока неизвестны величины A_k и M_k . Найдем их. Для начала условимся, что $t_{k+1} - t_k = \Delta t$ постоянная величина для каждого испытания. Тогда с одной стороны мы имеем

$$\mathbb{V}ar x_{k+1} = A_k^2 \mathbb{V}ar x_k + \mathbb{V}ar w_k = A_k^2 \mathbb{V}ar x_k + M_k,$$

$$\begin{aligned} \text{cov}(x_{k+1}, x_k) &= \mathbb{E}(x_{k+1} x_k) - \mathbb{E} x_{k+1} \mathbb{E} x_k = \mathbb{E}(x_k x_k^2 + w_{k+1} x_k) - A_k (\mathbb{E} x_k)^2 = \\ &= \{ \mathbb{E} w_{k+1} = 0, w_{k+1} \text{ и } x_k \text{ независимы} \} = A_k (\mathbb{E} x_k^2 - (\mathbb{E} x_k)^2) = A_k \mathbb{V}ar x_k. \end{aligned}$$

Замечание 2. Здесь и далее считаем распределение помехи v гауссовским. В случае распределения Коши матожидание помехи не определено и фильтрацию получить не получится.

Ковариационная функция процесса Орнштейна–Уленбека $R(t, s) = \sigma^2 e^{-\lambda|t-s|}$. Тогда:

$$\begin{cases} A_k^2 \text{Var } x_k + M_k = \sigma^2, \\ A_k \text{Var } x_k = \sigma^2 e^{-\lambda \Delta t}, \\ \text{Var } x_k = \sigma^2. \end{cases}$$

$$A_k = e^{-\lambda \Delta t} \quad \text{и} \quad M_k = \sigma^2 (1 - e^{-2\lambda \Delta t}).$$

Получаем фильтр Калмана для нашей задачи:

$$\begin{cases} x_{k+1|k} = e^{-\lambda \Delta t} x_{k|k}, \\ x_{k+1|k+1} = x_{k+1|k} + R_{k+1|k} (R_{k+1|k} + \sigma_v^2)^{-1} (y_{k+1} - x_{k+1|k}), \\ R_{k+1|k} = e^{-2\lambda \Delta t} R_{k|k} + \sigma^2 (1 - e^{-2\lambda \Delta t}), \\ R_{k+1|k+1} = R_{k+1|k} - R_{k+1|k} (R_{k+1|k} + \sigma_v^2)^{-1} R_{k+1|k}, \\ x_{0|0} = 0, \\ R_{0|0} = \sigma^2. \end{cases}$$

10.3 Результаты работы программы

10.3.1 Процесс Орнштейна–Уленбека

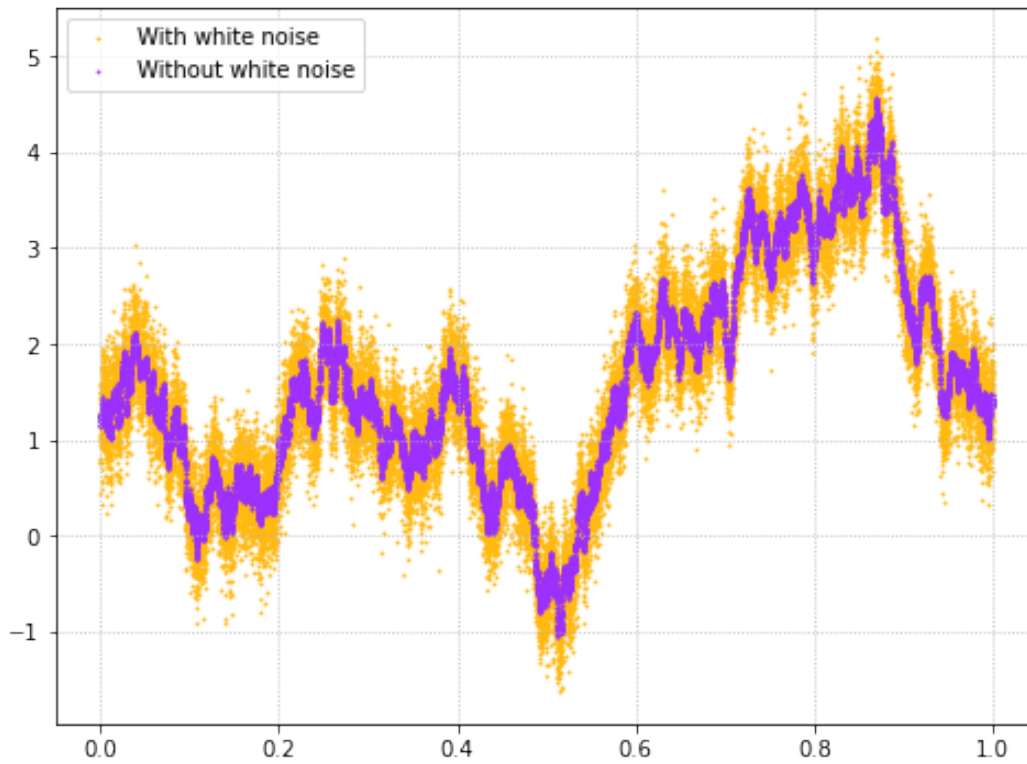


Рис. 33: Гауссовский белый шум

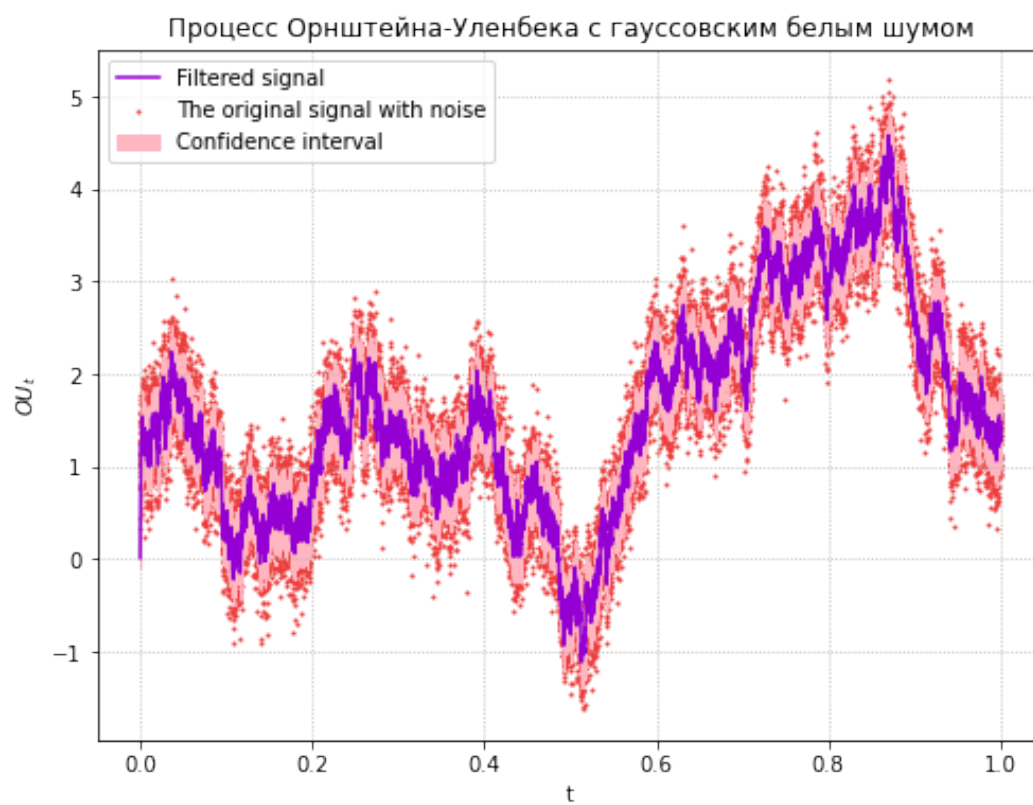


Рис. 34: Результат работы фильтра Калмана для гауссовского белого шума

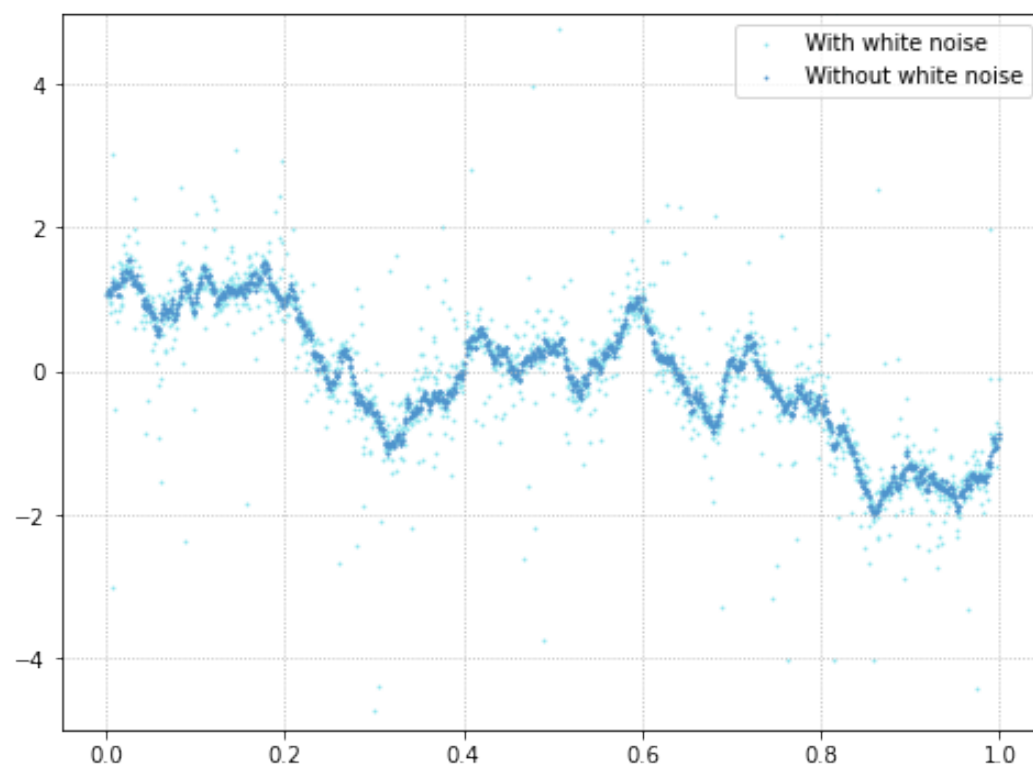


Рис. 35: Белый шум имеет распределение Коши

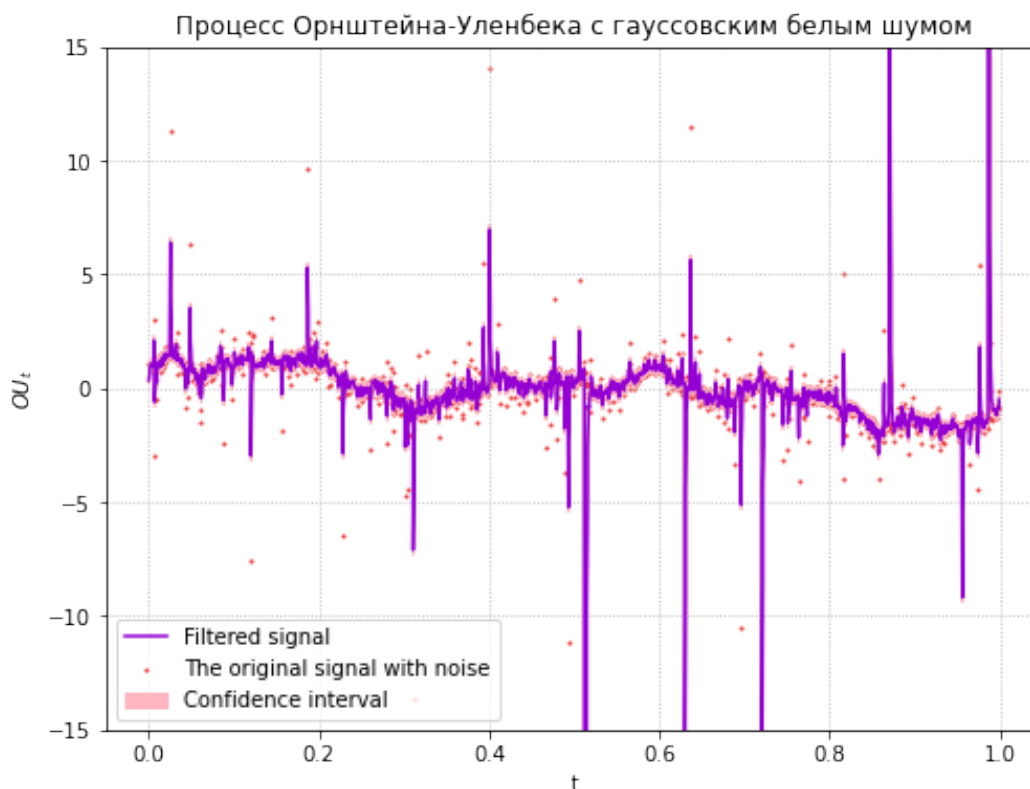


Рис. 36: Результат работы фильтра Калмана для белого шума с распределением Коши

11 Задание 11

11.1 Постановка задачи

Построить двумерное пуассоновское поле, отвечающее сложному пуассоновскому процессу:

1. Первая интерпретация: система массового обслуживания. При этом, первая координата поля - время поступления заявки в СМО (равномерное распределение), вторая - время ее обслуживания (распределение χ^2 с 10 степенями свободы).
2. Вторая интерпретация: система массового обслуживания с циклической интенсивностью $\lambda(1 + \cos(t))$ и единичными скачками. Свести данную задачу моделирования неоднородного пуассоновского процесса при помощи метода Льюиса и Шедлеара к моделированию двумерного пуассоновского поля, где первая координата имеет равномерное распределение, а вторая - распределение Бернулли.
3. Третья интерпретация: работа страховой компании. Первая координата - момент наступления страхового случая (равномерное распределение), вторая координата - величина ущерба (распределение Парето). Поступление капитала по времени линейно со скоростью $c > 0$, начальный капитал $W > 0$.
4. Для каждой системы рассмотреть всевозможные случаи поведения системы в зависимости от значения параметров

11.2 Теоретические выкладки

Для моделирования системы массового обслуживания (СМО) будем генерировать времена поступления заявок (для пуассоновского поля с интенсивностью потока заявок λ): каждая i -я заявка поступает во время t_i , причем $\delta_{t_i} = t_i - t_{i-1}$. Время обработки каждой i -й заявки (обозначим s_i) имеет распределение $\mathcal{X}^2(10)$ с 10-ю степенями свободы. Для каждой заявки также есть время ее обработки Q_i . При этом все заявки обрабатываются последовательно. Если к моменту поступления i -й заявки очереди на исполнение нет ($Q_{i-1} < t_i$), то $Q_i = t_i + s_i$ (предыдущая $(i-1)$ заявка обработана), если же есть очередь $Q_i \geq t_i$, то $Q_i = Q_{i-1}$. В общем виде получается: $Q_i = t_i + \max(0, Q_{i-1} - t_i) + s_i$. Для каждой i -й заявки считается число заявок в очереди n_i : если во время ее поступления очередь пуста, то $n_i = 0$, если же нет, то числом заявок в очереди будет количество таких Q_k , что $k < i$ и $Q_k > t_i$. Среднее время обработки равно $E(s_i) = 10$, а средний интервал между временами поступления заявок равен $E(\delta_{t_i}) = \frac{1}{\lambda}$. Очередь будет наблюдаться при $E(s_i) \geq E(\delta_{t_i})$, т.е. очередь будет неограниченно расти при $\lambda > 0.1$ и убывать при $\lambda < 0.1$.

Теперь рассмотрим систему массового обслуживания с циклической интенсивностью $\lambda(1 + \cos(t))$ и единичными скачками. Теперь время t_i — время наступления некоторого события, а $N(t_i, t_j)$ — число событий наступивших в отрезок времени $[t_i, t_j]$. Также теперь δ_{t_i} имеет распределение $F(x) = 1 - e^{(\Lambda(t) - \Lambda(t+x))}$, где $\Lambda(t) = \int_0^t \lambda(\tau) d\tau, x \leq 0$. В нашем случае $\Lambda(t) = \lambda(t + \sin(t))$. Теорема 11.1 Пусть существует одномерный неоднородный пуассоновский процесс с параметром $\lambda^*(t)$, тогда количество точек $N^*(T)$ на фиксированном интервале $(0, T]$ имеет распределение Пуассона с параметром $\mu^* = \Lambda^*(T) - \Lambda^*(0)$. Пусть $X_1^*, \dots, X_{N^*(T)}^*$ — точки процесса на рассматриваемом интервале. Пусть $0 \leq t \leq T, \lambda(t) \leq \lambda^*(t) \forall i = \overline{1, n}$ удаляем все X_i^* с вероятностью $1 - \frac{\lambda(X_i^*)}{\lambda^*(X_i^*)}$. Тогда оставшиеся точки образуют одномерный неоднородный пуассоновский процесс $\{N(x) : x \geq 0\}$ с параметром $\lambda(x)$, на интервале $(0, T]$.

Алгоритм:

1. $\lambda^* = 2\lambda$.
2. Генерируем n случайных величин $X_1, \dots, X_n : X_i - X_{i-1} \sim \text{Exp}(\lambda^*)$. Положим $i = 1, k = 0$.
3. Генерируем $U_i \sim U[0, 1]$. Если $U_i \leq \frac{\lambda(X_i)}{\lambda^*(X_i)}$, то увеличиваем k на единицу и принимаем $X_k = X_i$.
4. Увеличиваем i на единицу. Если $i \leq n$ переходим к шагу 3.
5. Возвращаем X_1, \dots, X_k .

Определение 25. Случайная величина имеет распределение Парето с параметрами x_m, k , если ее функция распределения имеет вид:

$$F_\xi(x) = 1 - \left(\frac{x_m}{x}\right)^k.$$

Для построения генератора случайной величины, распределенной по Парето с параметрами x_m, k воспользуемся методом обращения:

$$F_\xi^{-1}(x) = \frac{x_m}{(1-x)^{\frac{1}{k}}}.$$

Тогда, получим сл.в. ξ , распределенную по Парето:

$$X \sim U[0, 1] \implies \xi = \frac{x_m}{(1 - X)^{\frac{1}{k}}}.$$

Пусть времена наступления страховых случаев $t_1, \dots, t_i, \delta_{t_i} \sim \text{Exp}(\lambda)$, где $\lambda > 0$ — интенсивность потока страховых случаев.

Пусть ущерб страхового случая s_i в момент времени t_i , является случайной величиной, распределенной по Парето. Ее математическое ожидание будет вычисляться следующим образом:

$$Es_i = \begin{cases} \frac{kx_m}{k-1}, & \text{при } k > 1, \\ +\infty, & \text{иначе.} \end{cases}$$

Введем величину капитала в момент времени t , как результат формулы:

$$W(t) = W(0) + ct - S(t), \quad S(t) = \sum_{i:t_i \leq t} s_i,$$

где $S(t)$ — сумма страховых выплат до момента времени t . Тогда время разорения зададим условием:

$$T = \min\{t > 0 \mid W(t) < 0\}.$$

Найдем среднюю скорость прироста капитала:

$$(EW(t))' = (W(0) + ct - ES(t))' = c - \left(E \sum_{i:t_i \leq t} s_i \right)' = c - (\lambda t Es_i)' = c - \frac{\lambda k x_m}{k-1}.$$

Из найденной средней скорости видно, что капитал будет увеличиваться, при $c(k-1) > \lambda k x_m$, будет уменьшаться, при $c(k-1) < \lambda k x_m$, и будет оставаться в относительном равновесии при $c(k-1) = \lambda k x_m$.

11.3 Результаты работы программы

11.3.1 СМО

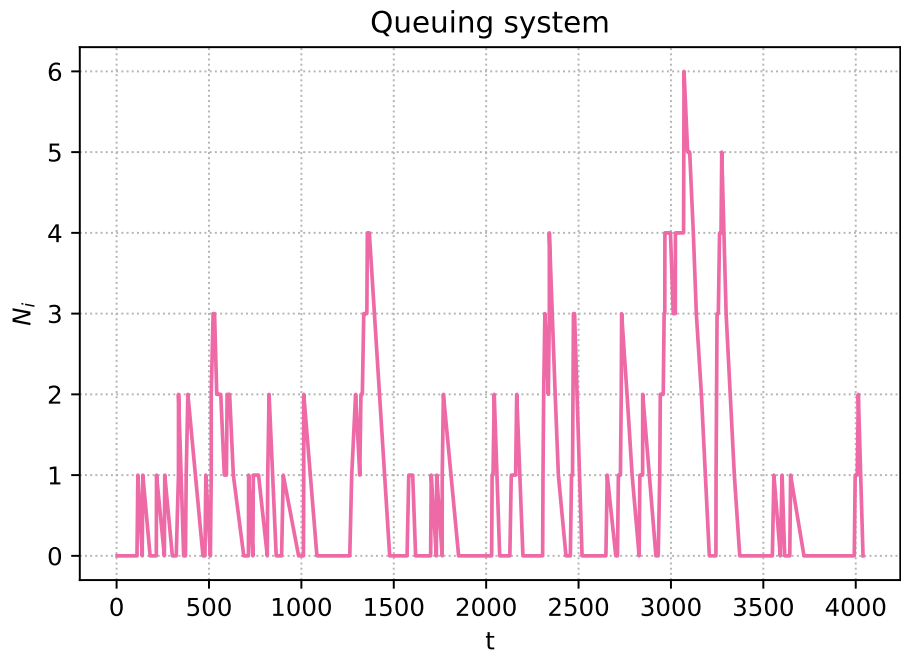


Рис. 37: СМО $\lambda = 0.05$

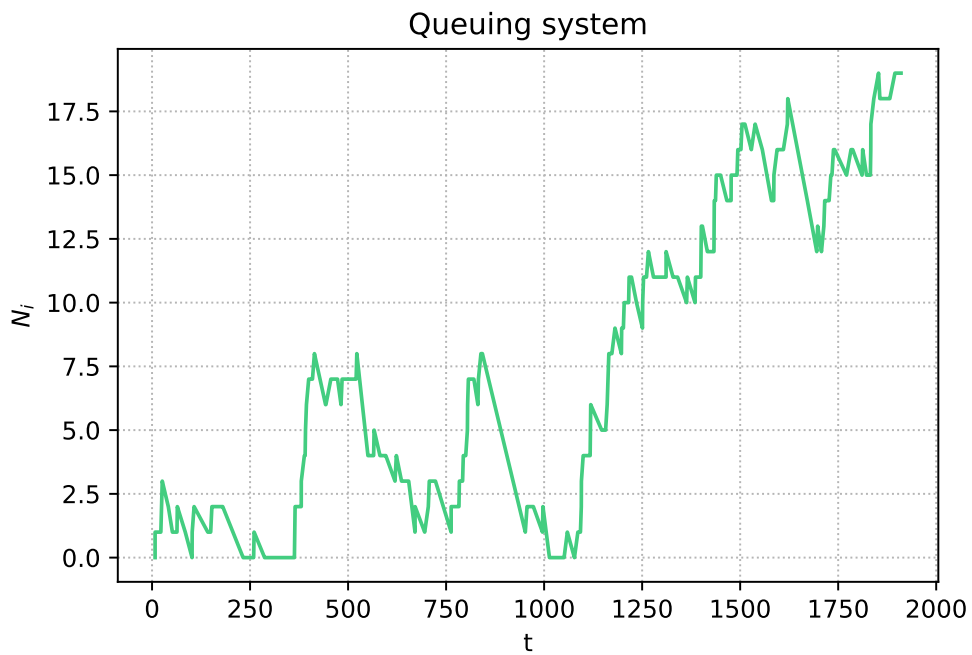


Рис. 38: СМО $\lambda = 0.1$

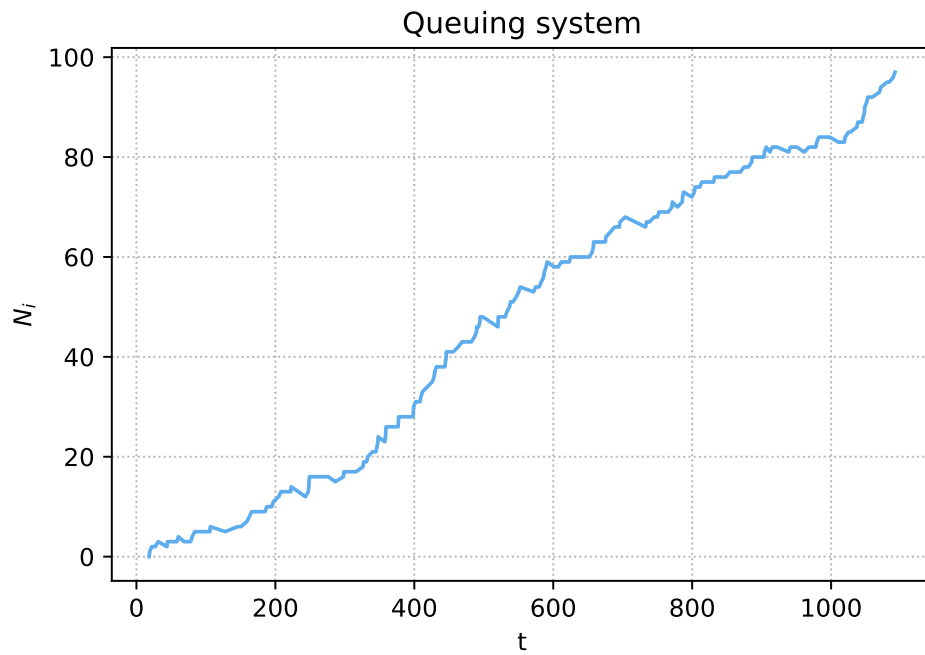


Рис. 39: СМО $\lambda = 0.2$

11.3.2 СМО с циклической интенсивностью

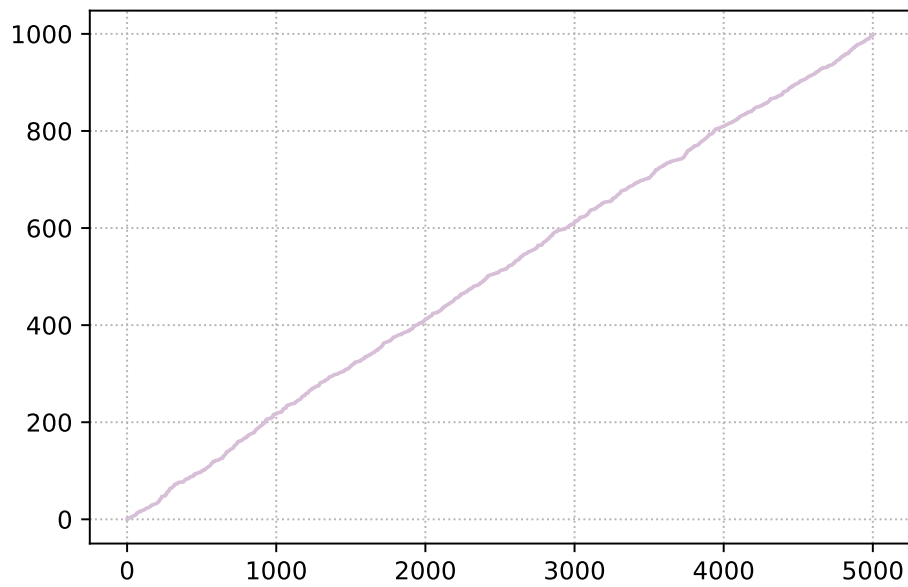


Рис. 40: СМО $\lambda = 0.5$

11.3.3 Работа страховой компании

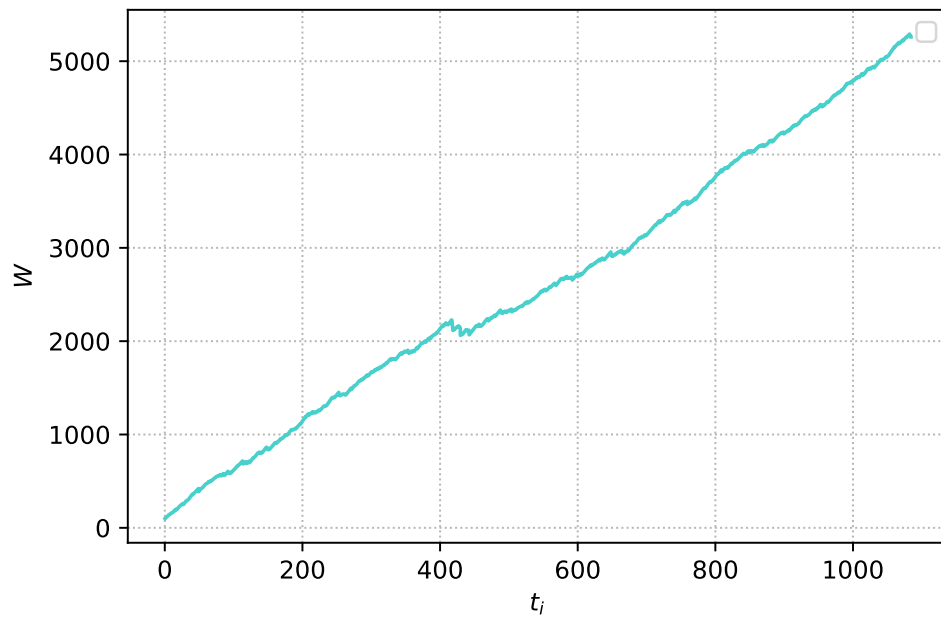


Рис. 41: $\lambda = 0.9$, $k = 3$, $x_m = 5$, $c = \frac{\lambda k x_m}{(k-1)+5}$

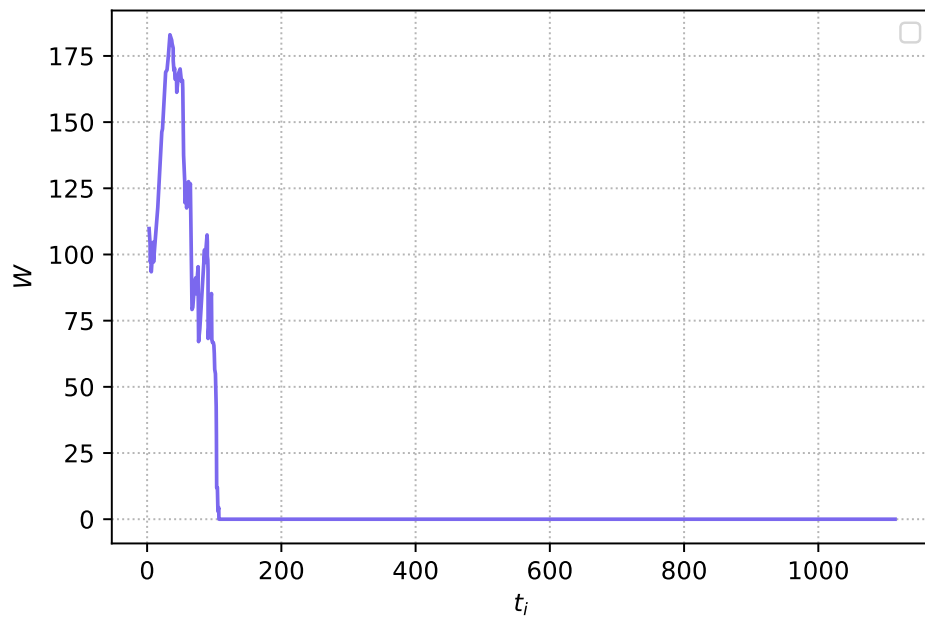


Рис. 42: $\lambda = 0.9$, $k = 3$, $x_m = 5$, $c = \frac{\lambda k x_m}{(k-1)-1}$

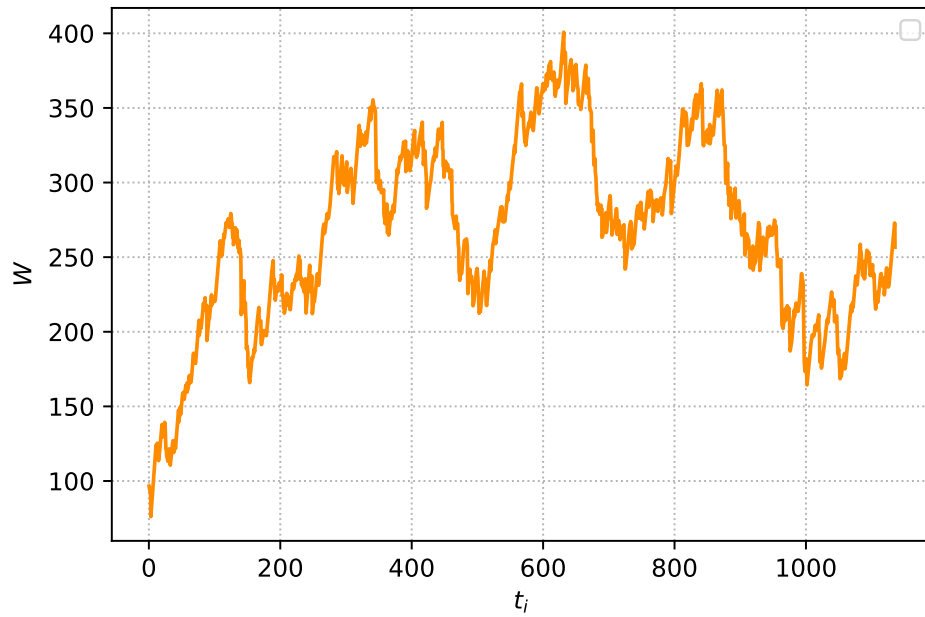


Рис. 43: $\lambda = 0.9$, $k = 3$, $x_m = 5$, $c = \frac{\lambda k x_m}{(k-1)}$

Список литературы

- [1] С. Н. Смирнов. Лекции по стохастическому анализу и моделированию. 2022
- [2] А. В. Арутюнов. Лекции по выпуклому и многозначному анализу. 2021
- [3] К. Ю. Острем. Введение в стохастическую теорию управления. М.: Мир, 1973
- [4] Ж. Неве. Математические основы теории вероятностей. 1969